

信号与电路系统基础

第一章 电路系统元件、信号和定律

1.1 电路及电路模型

1.2 电学中的基本物理量

1.3 电路系统中的信号

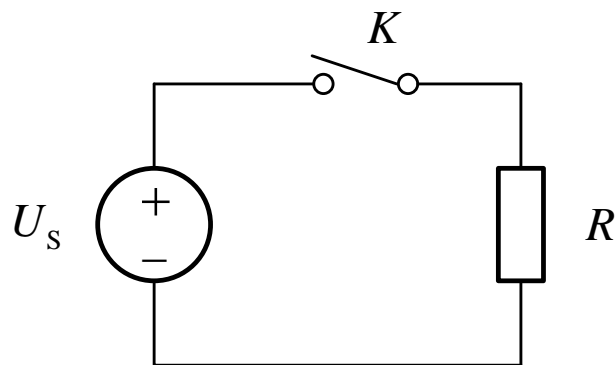
1.4 电路系统中的元件

1.5 基尔霍夫定律

1.6 电路网络及其等效规律

1.1 电路及电路模型

电路是指由导线和电气、电子部件构成并可实现特定功能的导电回路。电路按其功能不同，大致可以分为两类：一类为电力线路，用于实现对能量的输送和分配；另一类为电子线路，用于实现对电信号的检测、分析、传输、加工和处理等功能。



1.2 电学中的基本物理量

1. 电流（current）

电流是描述带电粒子定向运动流量和流向的宏观物理量。
电流的大小定义为单位时间内通过导体横截面的净电荷量，
用*i*表示

$$i = \frac{dq}{dt}$$

单位为安培（A）， $1\text{A} = 1\text{C} / \text{s}$

DC: *I*

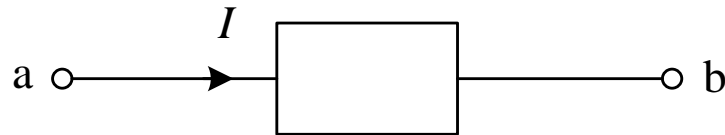
AC: *i*

*i*也可以用来表示直流电流

1.2 电学中的基本物理量

1. 电流 (current)

电流主要是由带负电荷的自由电子的定向运动产生的。规定自由电子移动的反方向（假想正电荷移动的方向）为电流的方向



参考方向

若 $I=2\text{A}$ ，表示 2A 电流从 a 流向 b ；
若 $I=-2\text{A}$ ，则表示 -2A 电流从 a 流向 b ，
或者是 2A 电流从 b 流向 a

I_{ab} 表示从 a 流向 b 的电流

电流数值的正负反映了实际电流方向与参考方向的关系

1.2 电学中的基本物理量

2. 电压和电位

电压是电路中自由电荷定向移动形成电流的原因，也称电势差或者电位差。将单位正电荷从a点移动到b点，电场力所做的功，称为a点对b点的电压，用 u 表示

$$u = \frac{dw}{dq}$$

电压 u 的单位为伏特（V）， $1V = 1J / C$

DC: U

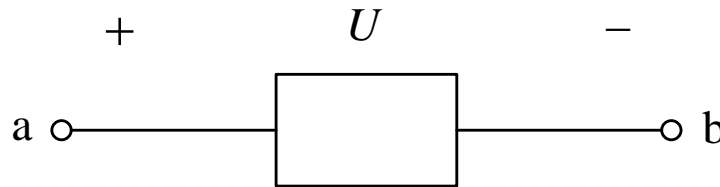
AC: u

u 也可以用来表示直流电压

1.2 电学中的基本物理量

2. 电压和电位

若单位正电荷从a点移到b点失去能量，则a点电位高于b点电位，一般规定电位降低的方向为电压的真实方向，即a点极性为正，而b点极性为负；反之，若单位正电荷从a点移到b点获得能量，则a点电位低于b点电位，即a点极性为负，而b点极性为正



参考方向

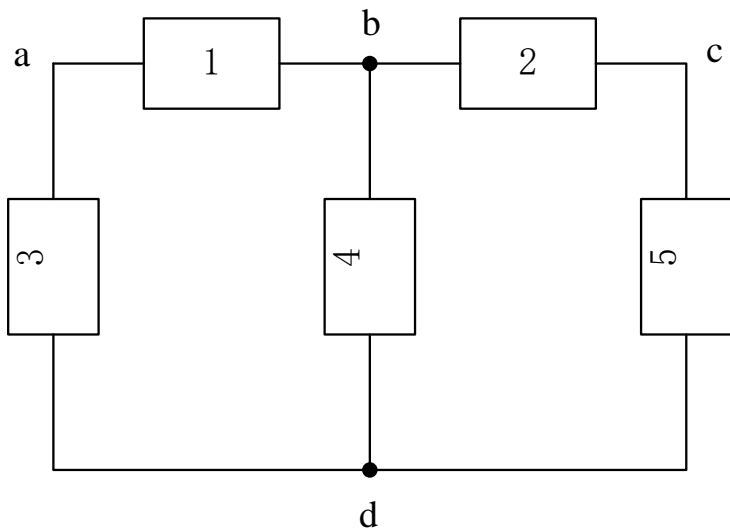
若 $U=2V$ ，表示a点到b点的压降为2V；
若 $U=-2V$ ，表示a点到b点的压降为-2V，
或者是b点到a点的压降为2V

U_{ab} 表示从a点到b点的压降

在设定参考方向后，电压数值的正负反映了实际电压方向与参考方向的关系

1.2 电学中的基本物理量

例1.2-1 如图1.2-3所示电路中，选d作为参考点时， $U_a = 2\text{V}$
 $U_b = 3\text{V}$ $U_c = 1\text{V}$ 。求a点作为参考点时的 U_b U_c U_d

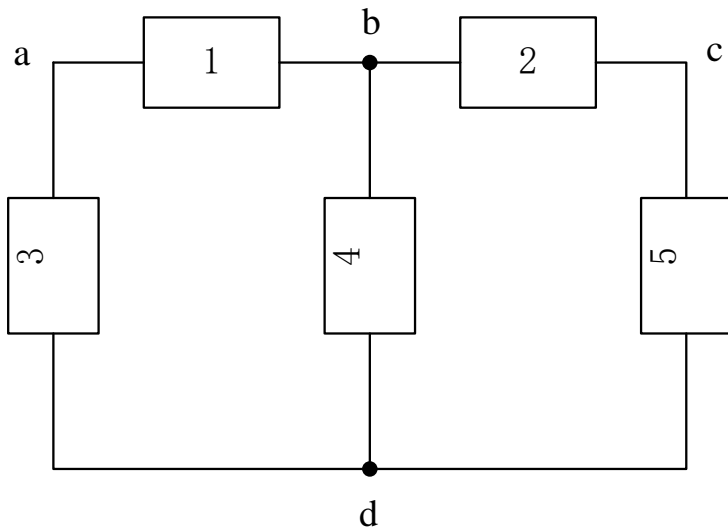


节点电位（节点电压）：

选择电路中的某一节点 O 为参考点（零电位点，一般用符号 \perp 表示），则其他节点相对于参考点的电压称为该节点的电位，用 U_n 表示，其中 n 为节点符号。因此，电路中任意两点间的电压等于该两点的电位之差。

1.2 电学中的基本物理量

例1.2-1 如图1.2-3所示电路中，选d作为参考点时， $U_a = 2V$
 $U_b = 3V$ $U_c = 1V$ 。求a点作为参考点时的 U_b U_c U_d



解 选d作为参考点情况下，有

$$U_{ad} = U_a = 2V$$

$$U_{bd} = U_b = 3V$$

$$U_{cd} = U_c = 1V$$

在选a点作为参考点时，有

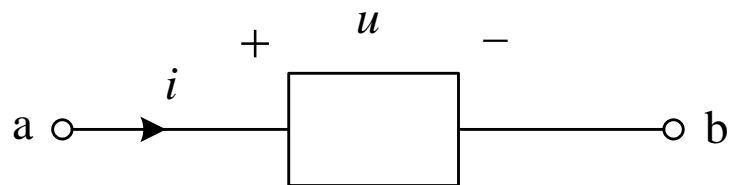
$$U_d = U_{da} = -U_{ad} = -2V$$

$$U_b = U_{ba} = U_{bd} - U_{ad} = 3 - 2 = 1V$$

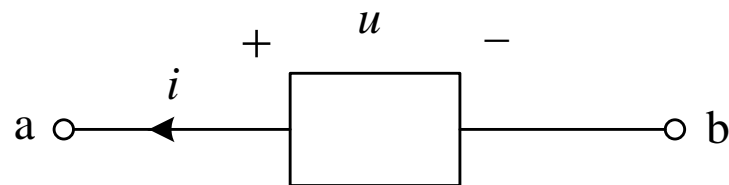
$$U_c = U_{ca} = U_{cd} - U_{ad} = 1 - 2 = -1V$$

1.2 电学中的基本物理量

关联参考方向



(a) 关联参考方向



(b) 非关联参考方向

1.2 电学中的基本物理量

3. 功率和能量

功率（瞬时功率）定义为能量随时间的变化率，用 p 表示

$$p(t) = \frac{dw}{dt} \quad \text{单位为瓦特 (W), } 1\text{W} = 1\text{J} / \text{s}$$

当元件的电压和电流呈关联参考方向时

$$p(t) = \frac{dw}{dt} = \frac{dw}{dq} \cdot \frac{dq}{dt} = ui$$

$p > 0$, 元件吸收功率或者消耗功率;
 $p < 0$, 元件提供功率

若呈非关联参考方向，则元件的瞬时功率为

$$p(t) = -ui$$

1.2 电学中的基本物理量

元件在时间区间 (t_1, t_2) 吸收的能量 w 为

$$w = \int_{t_1}^{t_2} p(t) dt$$

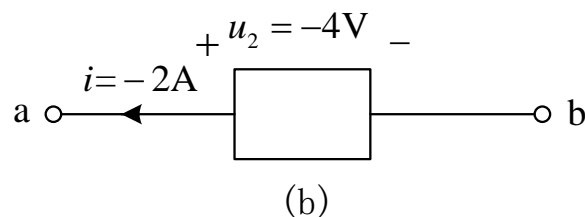
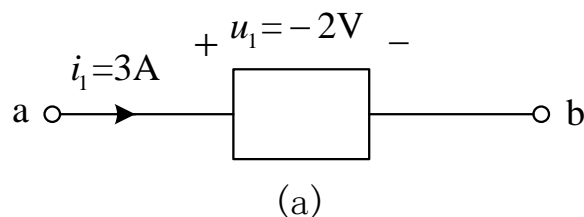
由于能量守恒定律，在任一时间区间，电路中各元件的能量的代数和为零。而功率是能量的变化率，因此，任一时刻电路中各元件的功率的代数和为零，即

$$\sum p = 0$$

$$\sum p_{\text{吸收}} = \sum p_{\text{提供}}$$

1.2 电学中的基本物理量

例 1.2-2 求图1.2-5所示各元件的功率，并判断各元件是吸收功率还是提供功率。



解 (a) 该元件的电压和电流呈关联参考方向，

$$p_1 = u_1 i_1 = (-2) \times 3 = -6\text{W} < 0 \quad \text{该元件提供6W功率。}$$

(b) 该元件的电压和电流呈非关联参考方向，

$$p_2 = -u_2 i_2 = -(-4) \times (-2) = -8\text{W} < 0$$

该元件提供8W功率。

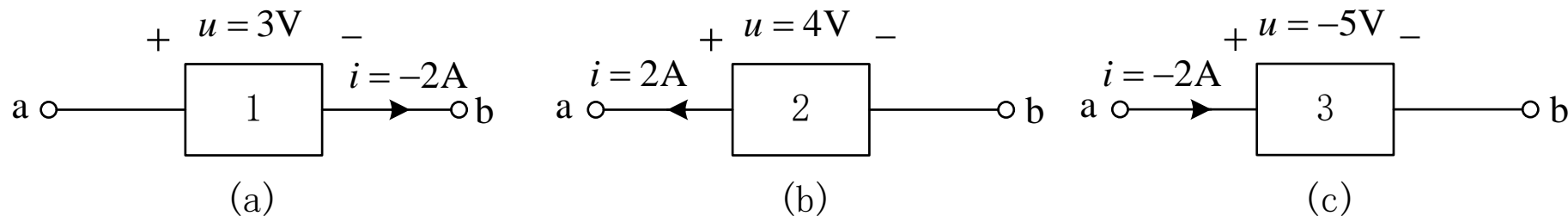
1.2电学中的基本物理量

表1.2-1 国际单位制（SI）词头

符号	名称	比例因子
G	吉（giga）	10^9
M	兆（mega）	10^6
k	千（kilo）	10^3
m	毫（milli）	10^{-3}
μ	微（micro）	10^{-6}
n	纳（nano）	10^{-9}
p	皮（pico）	10^{-12}

1.2 电路及电路模型

1-1 计算如题图1-1所示元件的功率。



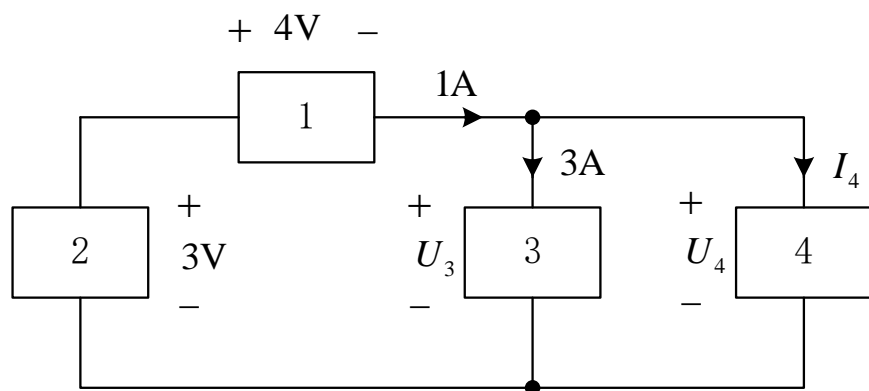
$$p_1 = ui = 3 \times (-2) = -6\text{W} \quad (\text{提供} 6\text{W})$$

$$p_2 = -ui = -4 \times 2 = -8\text{W} \quad (\text{提供} 8\text{W})$$

$$p_3 = ui = (-5) \times (-2) = 10\text{W} \quad (\text{吸收} 10\text{W})$$

1.2 电路及电路模型

1.2 计算题图1-2所示电路中的 U_3 U_4 I_4
并计算元件3和元件4的功率。



$$U_3 = U_4 = 3 - 4 = -1\text{V}$$

$$I_4 = 1 - 3 = -2\text{A}$$

$$p_3 = -1 \times 3 = -3\text{W} \quad (\text{提供 } 3\text{W})$$

$$p_4 = -1 \times (-2) = 2\text{W} \quad (\text{吸收 } 2\text{W})$$

1.3 电路系统中的信号

1.3.1 信号基本概念

1.3.2 信号分类

1.3.3 电路中的常用信号

1.3.4 信号的时域变换

- 1、理解：常用信号的定义。
- 2、理解：冲激信号和阶跃信号、基本周期的概念
- 3、分析：信号的周期性和基本周期；

信号的变化： $f(t) \rightarrow f(at+b)$ 。

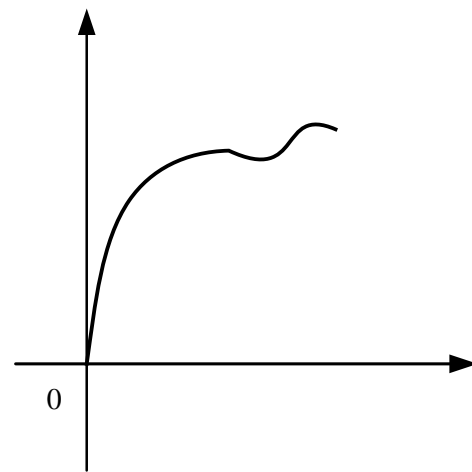
1.3.1 信号基本概念

信号是信息的载体，是包含和传递信息的一种物理量，是客观事物存在状态或属性的反映，简单来说，信号是带有信息的随时间（空间）变化的物理量或物理现象。前面我们所说的电压和电流，就是两种基本的信号

描述电压、电流的基本方法是把它们写成时间函数的表达式，如

$$f(t) = \sin(t)$$

或者给出信号随时间变化的图形，即信号波形。



1.3.2信号分类

1. 按用途分

广播信号、通信信号、控制信号、雷达信号、电视信号等

2. 按信号对时间的变化规律分

确定性信号：可以用明确的数学关系式描述的信号称为确定性信号，也就是说，对于指定的某一时刻 t ，可确定相应的函数值 $f(t)$ 来表示该信号（若干不连续点除外）。对确定性信号进行重复观测，结果相同。本课程研究确定性信号。

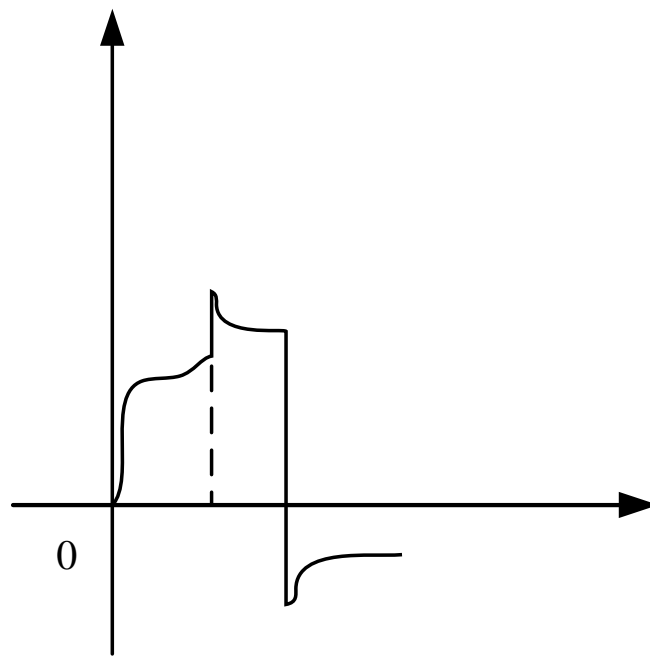
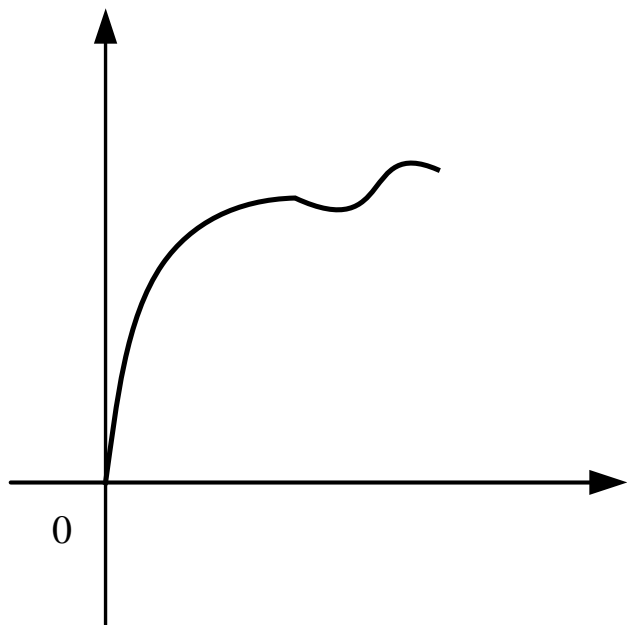
随机信号：对随机信号的每一次观测均不同

伪随机信号：伪随机信号是一类貌似随机而实际遵循严格规律产生的信号

1.3.2信号分类

3. 按信号的连续性分

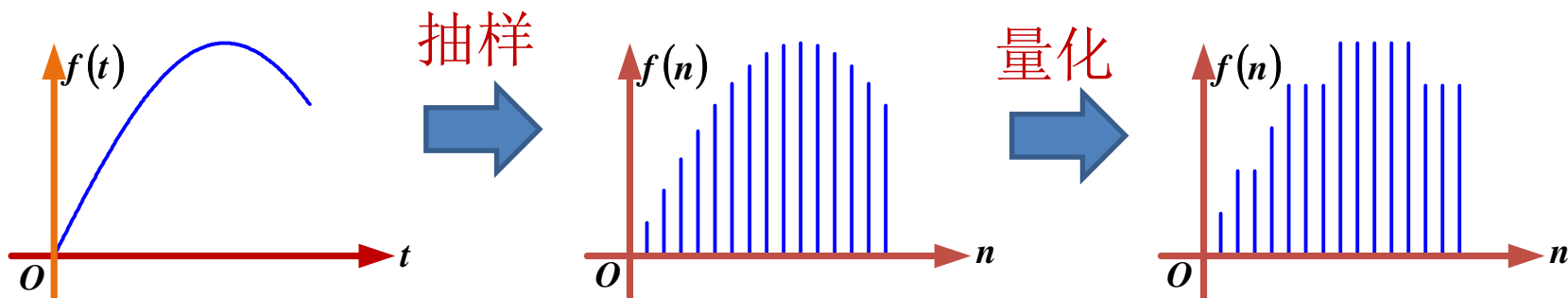
在所讨论的时间范围内，如果信号对任意时间取值都有确定的函数值（允许存在有限个间断点），则称该信号为



1.3.2信号分类

3. 按信号的连续性分

若信号只在某些离散时刻有确定的函数值，而在其他时间信号不存在，则称该信号为



$$\frac{v}{v_{ref}} \times (2^b - 1)$$

例1.3-1 某电压信号大小为3.2V，经参考电压为5V的16位ADC量化后的数字信号大小为

$$3.2 \times (2^{16} - 1) / 5 = 41942$$

1.3.2信号分类-4按信号的重复性

信号可以分为周期信号和非周期信号。

周期信号：是指经过一定时间间隔周而复始重复出现、无始无终的信号。

$$\forall t \in (-\infty, \infty), f(t) = f(t + nT) \quad n = 0, \pm 1, \pm 2, \pm 3, \dots$$

满足上式中的最小正数T称为周期

$$T = 2\pi / \omega_1$$

ω_1 基波角频率，简称基频，单位为弧度/秒，或rad/s

非周期信号：时间域上不周期重复的确定性信号

1.3.2信号分类-4按信号的重复性

例1.3-7 确定下列信号是否为周期信号。如果是，求出其基本周期。

(1) $f(t) = \cos^2(2\pi t)$

$$f(t) = e^{-2t} \cos(2\pi t)$$

解： (1)

$$f(t) = \cos^2(2\pi t) = \frac{1 + \cos(4\pi t)}{2}$$

故为周期信号，周期为0.5s。

(2) 非周期信号。

1.3.3 电路中的常用信号

1. 直流信号:

$$f(t) = A$$

2. 正弦信号:

$$f(t) = \cos \omega t$$

3. 指数信号:

$$f(t) = e^{\sigma t}$$

4. 指数变化的正弦信号:

$$f(t) = e^{\sigma t} \cos \omega t$$

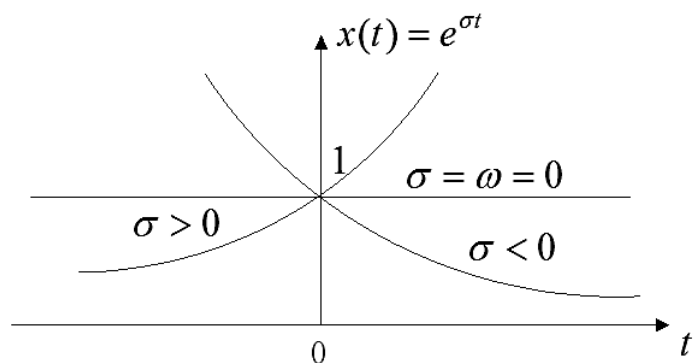
5. 复指数信号

$$f(t) = Ae^{st} = Ae^{(\sigma + j\omega)t} = Ae^{\sigma t} (\cos \omega t + j \sin \omega t)$$

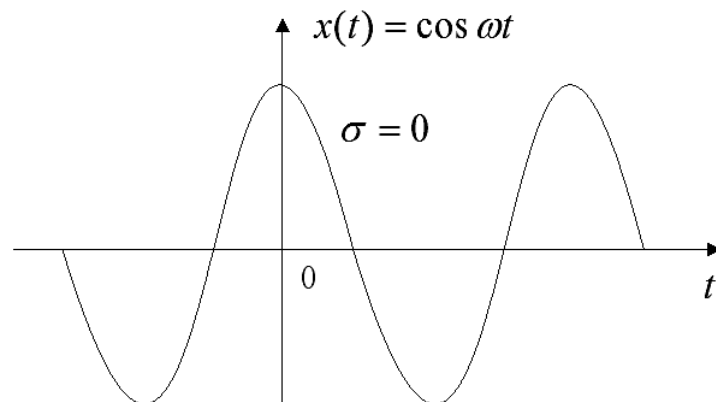
1.3.3 电路中的常用信号

复指数信号 $f(t) = Ae^{st} = Ae^{(\sigma+j\omega)t} = Ae^{\sigma t}(\cos \omega t + j \sin \omega t)$

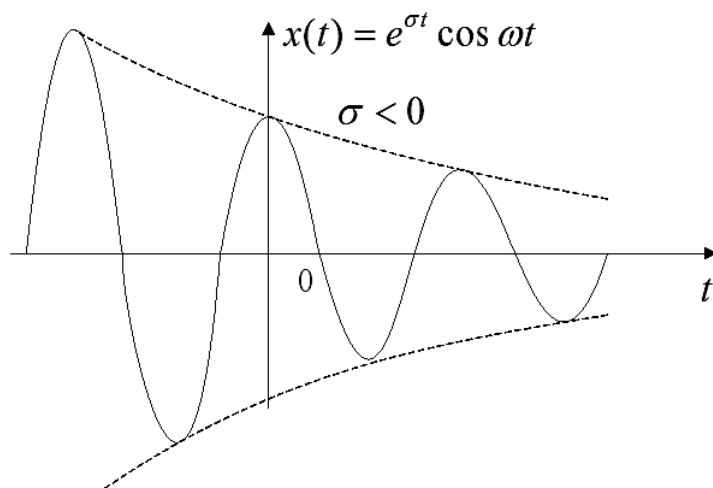
复指数信号可以派生出很多不同的实信号



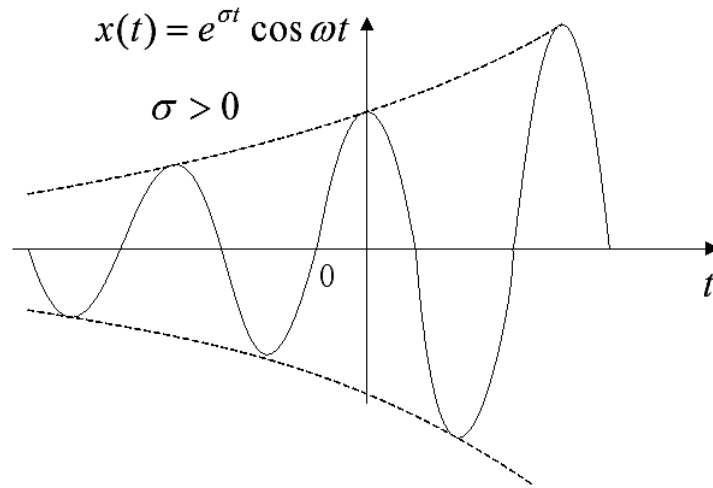
(a)



(b)



(c)

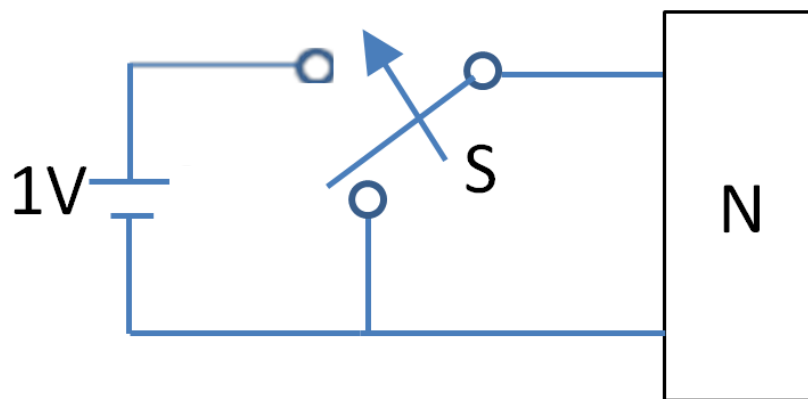
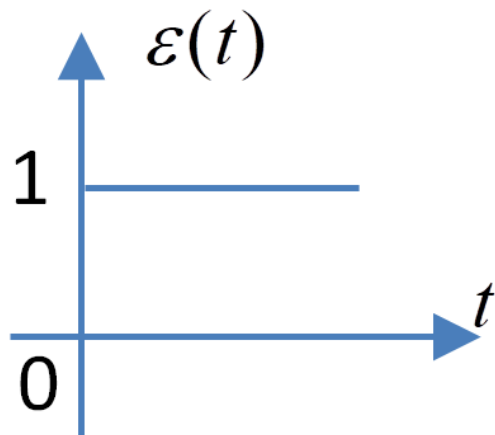


(d)

1.3.3 电路中的常用信号

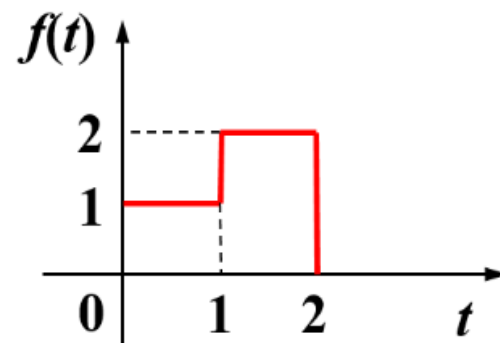
6. 单位阶跃信号

$$\varepsilon(t) = \begin{cases} 0, & t < 0 \\ 1, & t > 0 \end{cases}$$



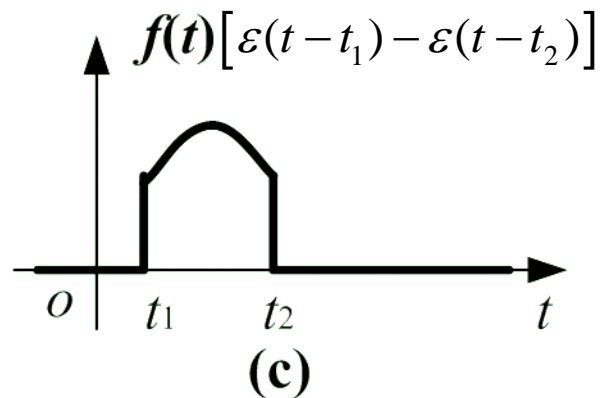
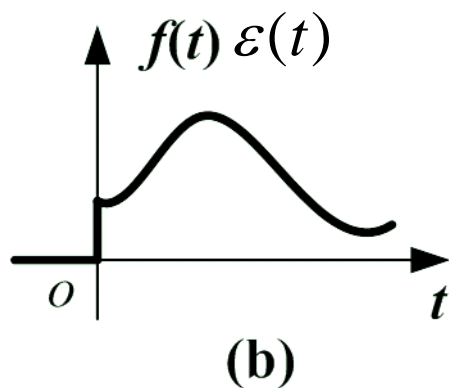
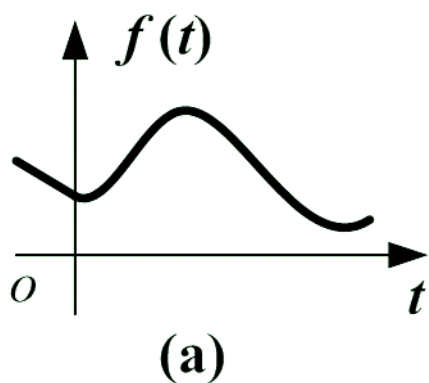
例1.3-8 用 $\varepsilon(t)$ 表示如图1.3-6所示的分段函数 $f(t)$

$$x(t) = \varepsilon(t) + \varepsilon(t-1) - 2\varepsilon(t-2)$$



1.3.3 电路中的常用信号

例1.3-9 如图1.3-7所示显示了可以用 $\varepsilon(t)$ 来表示信号的作用区间



1.3.3 电路中的常用信号

6. 单位冲激信号

$$\left\{ \begin{array}{l} \delta(t) = \begin{cases} \infty, & t = 0 \\ 0, & t \neq 0 \end{cases} \\ \int_{-\infty}^{\infty} \delta(t) dt = 1 \end{array} \right.$$

$$\delta(t) = \lim_{\tau \rightarrow 0} \frac{1}{\tau} \left[\varepsilon\left(t + \frac{\tau}{2}\right) - \varepsilon\left(t - \frac{\tau}{2}\right) \right]$$

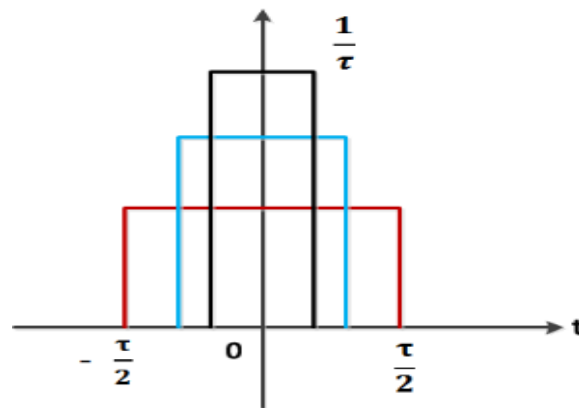
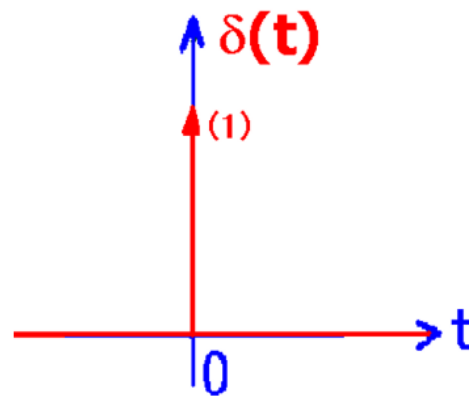
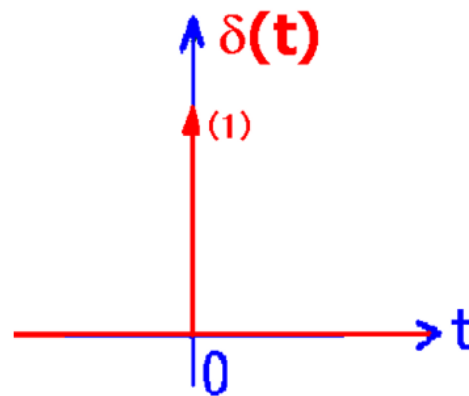


图1.3-9冲激的极限解释

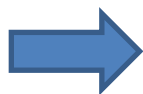
1.3.3 电路中的常用信号

6. 单位冲激信号

$$\left\{ \begin{array}{l} \delta(t) = \begin{cases} \infty, t = 0 \\ 0, t \neq 0 \end{cases} \\ \int_{-\infty}^{\infty} \delta(t) dt = 1 \end{array} \right.$$



$$\int_{-\infty}^t \delta(\tau) d\tau = \begin{cases} 0, t < 0 \\ 1, t > 0 \end{cases}$$

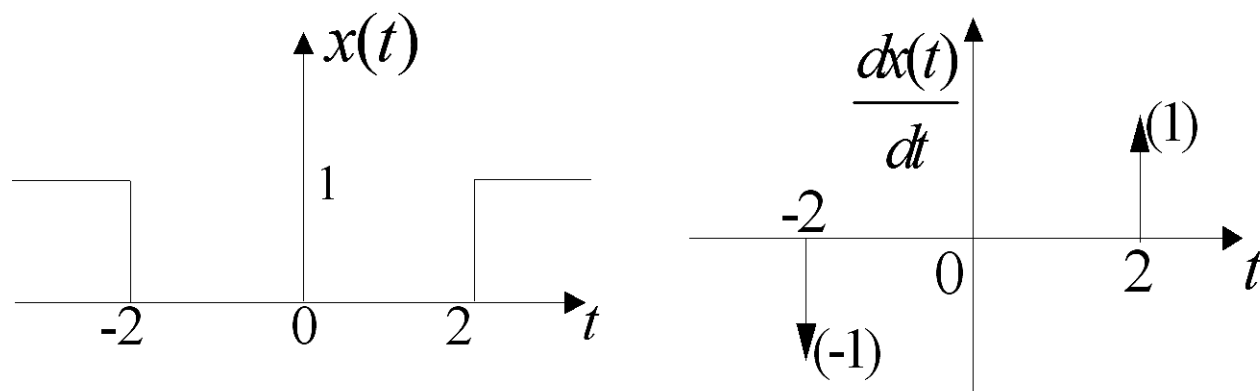


$$\int_{-\infty}^t \delta(\tau) d\tau = \varepsilon(t)$$

$$\frac{d\varepsilon(t)}{dt} = \delta(t)$$

1.3.3 电路中的常用信号

例1.3-10 画出如图1.3-10 (a) 所示信号的微分信号



1.3.3 电路中的常用信号

单位冲激信号具有如下性质

1. 筛选性质：

$$f(t)\delta(t-t_0) = f(t_0)\delta(t-t_0)$$

2. 取样性质：

$$\int_{-\infty}^{\infty} f(t)\delta(t-t_0)dt = f(t_0)$$

3. 展缩性质：

$$\delta(at-t_0) = \frac{1}{|a|}\delta(t-t_0/a)$$

$$a = -1, \text{ 时 } \delta(t) = \delta(-t) \quad \boxed{\text{偶函数}}$$

1.3.2信号分类-4按信号的重复性

例：试计算

$$\int_{-\infty}^{\infty} (t^2 + 3)\delta(t)dt$$

7. 单位冲激偶信号

$$\delta'(t)$$

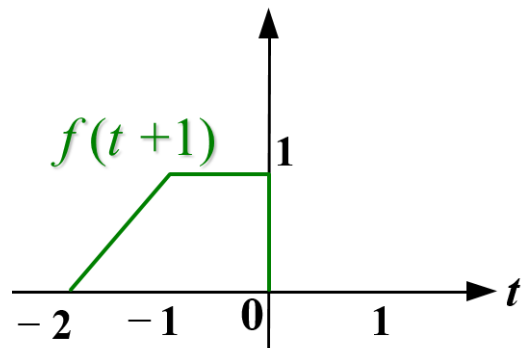
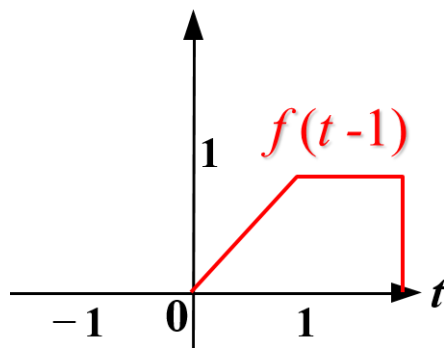
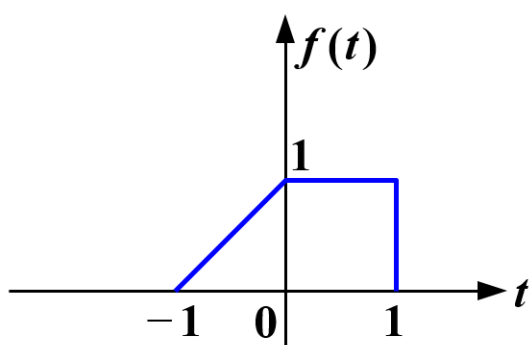
1.3.4信号的时域变换

信号的时域变换包括信号的平移、翻转与展缩

1. 信号的平移:

$$f(t) \rightarrow f(t - \tau)$$

例1.3-11

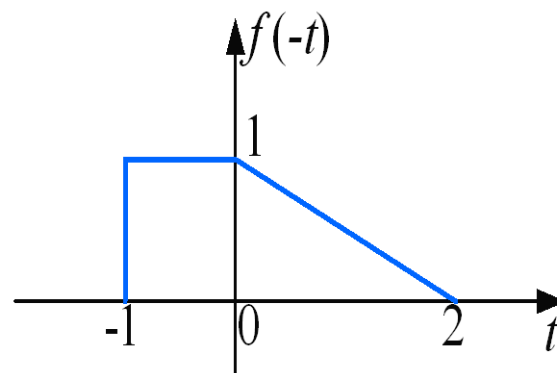
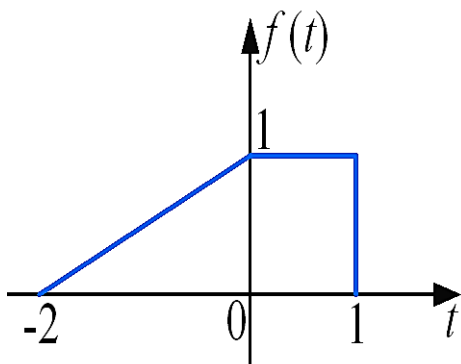


1.3.4信号的时域变换

信号的时域变换包括信号的平移、翻转与展缩

2. 信号的翻转：

$$f(t) \rightarrow f(-t)$$



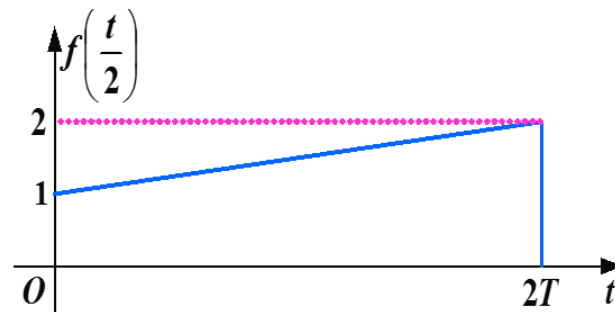
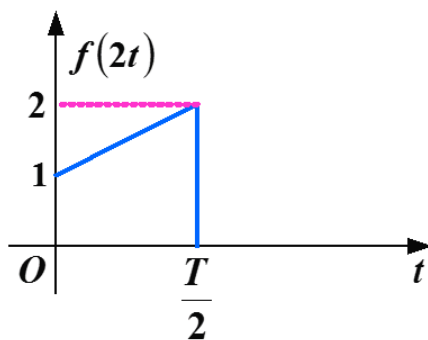
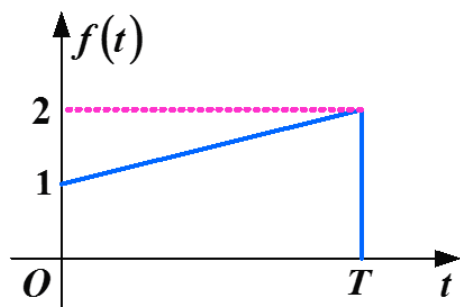
1.3.4信号的时域变换

信号的时域变换包括信号的平移、翻转与展缩

3. 信号的展缩

$$f(t) \rightarrow f(at) \quad (a > 0)$$

例1.3-13:



1.3.4信号的时域变换

信号的时域变换包括信号的平移、翻转与展缩

4. 连续信号时间变换的一般情况

$$f(t) \rightarrow f(at + b)$$

方案一：

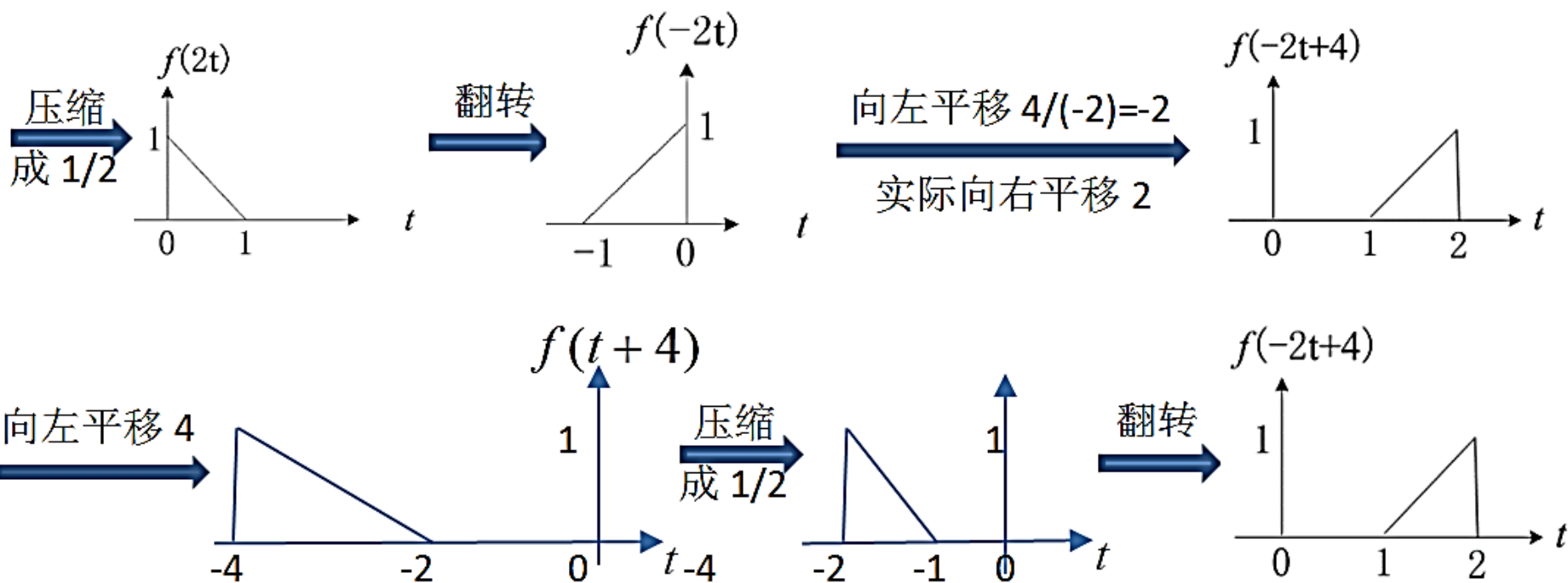
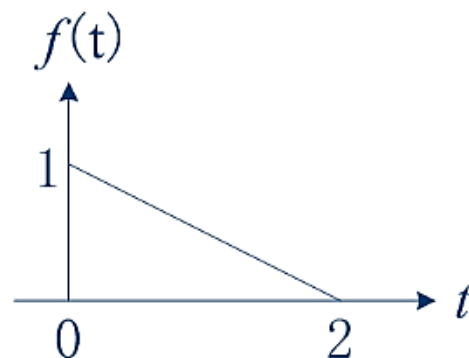
$$f(t) \xrightarrow{\text{时间轴压缩 } 1/|a|} f(|a|t) \xrightarrow{\text{若 } a < 0 \text{ 则翻转}} f(at) \xrightarrow{\text{向左平移 } b/a} f(at + b)$$

方案二：

$$f(t) \xrightarrow{\text{向左平移 } b} f(t + b) \xrightarrow{\text{时间轴压缩 } f(t)} f(|a|t + b) \xrightarrow{\text{若 } a < 0 \text{ 则翻转}} f(at + b)$$

1.3.4信号的时域变换

例1.3-14: $f(t)$ 的波形如图1.3-14 (a) 所示, 求 $f(-2t+4)$



1.4 电路系统中的元件

1.4.1 电阻器

1.4.2 独立电源

1.4.3 电容器元件

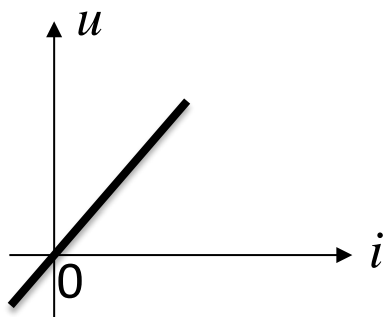
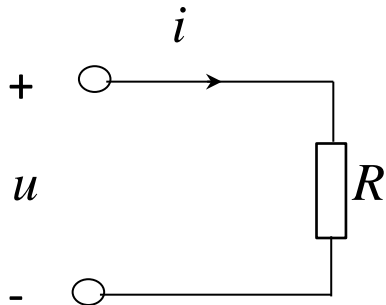
1.4.4 电感器元件

1.4.5 受控源元件

1.4.6 耦合电感元件和理想变压器

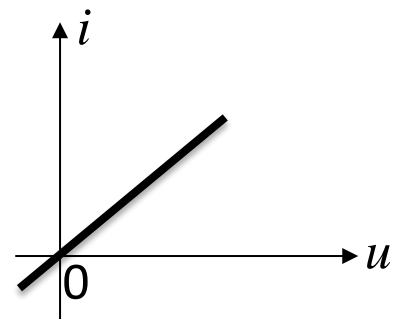
1.4.1 电阻器

1. 线性电阻



$$u(t) = Ri(t)$$

欧姆 Ω



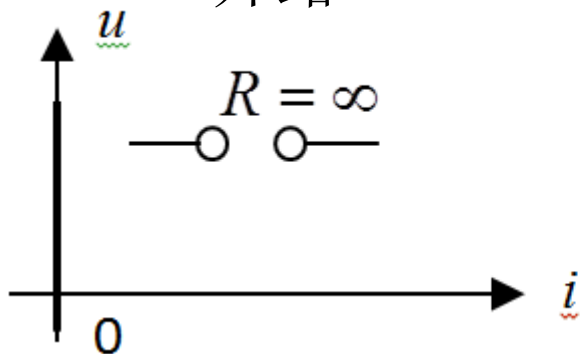
$$i(t) = Gu(t)$$

$$G = \frac{1}{R}$$

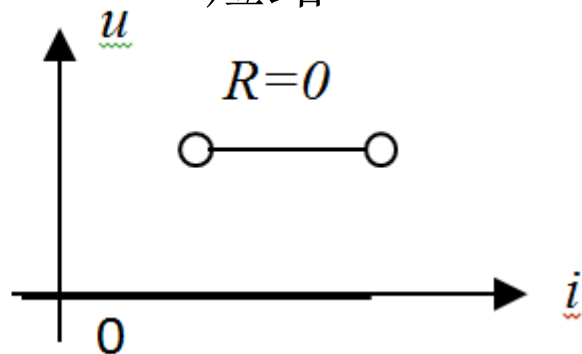
西门子S

两种特殊情况

开路

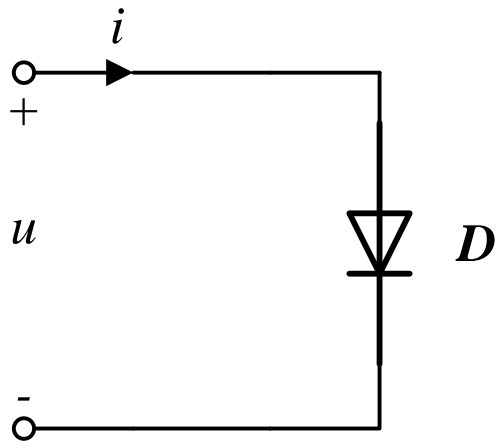


短路



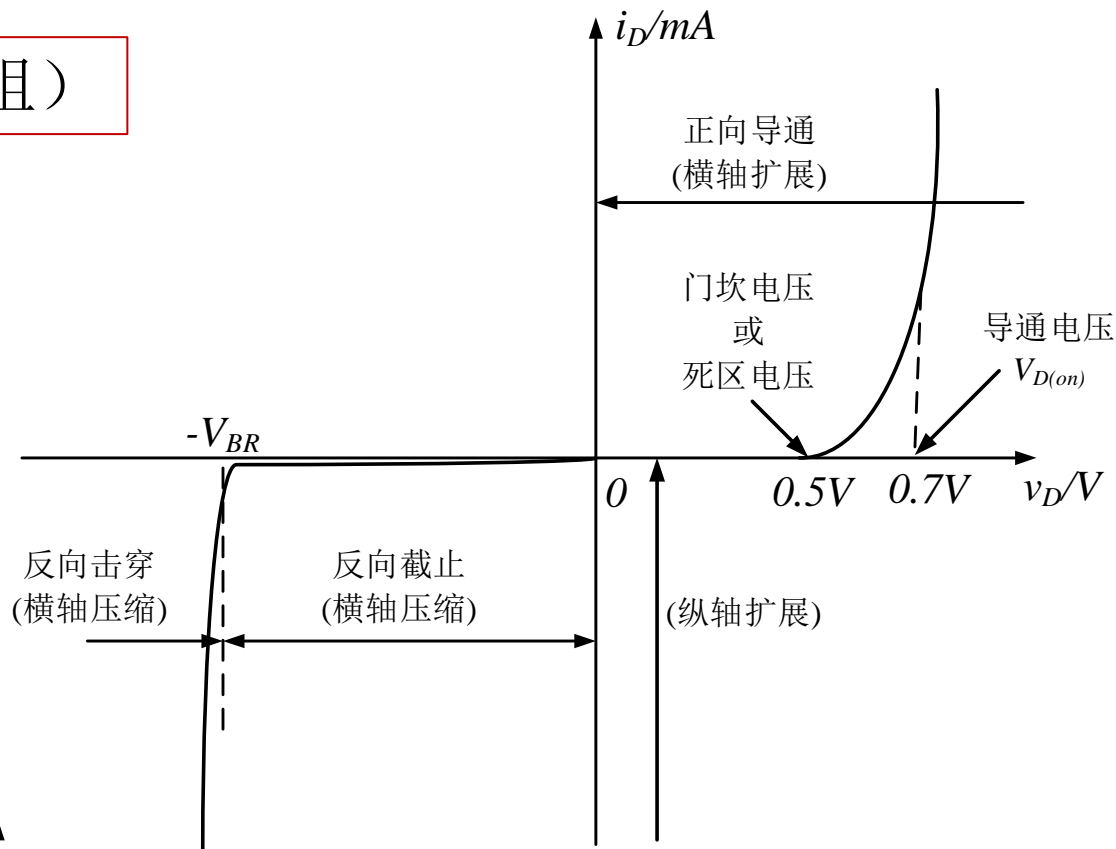
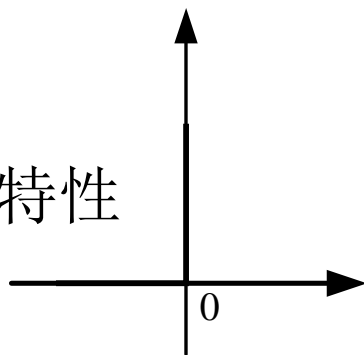
1.4.1 电阻器

2. 二极管（非线性电阻）



$$i_D = I_s (e^{v_D/nV_T} - 1)$$

理想二极管伏安特性



二极管伏安特性

1.4.1 电阻器

3. 电阻器吸收功率和能量

在关联参考方向下，二端电阻器吸收的瞬时功率为其端电压与端电流瞬时值的乘积

$$p(t) = u(t)i(t)$$

电阻器从 t_0 到 t_1 的时间间隔内所吸收的能量是

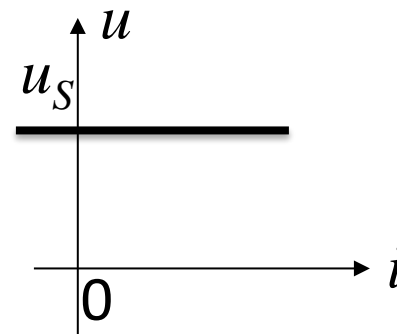
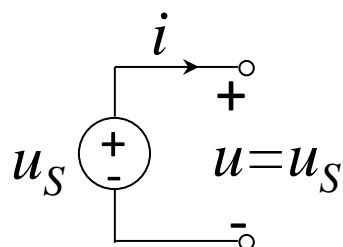
$$W(t_0, t) = \int_{t_0}^t p(\tau) d\tau = \int_{t_0}^t u(\tau) i(\tau) d\tau$$

1.4.2 独立电源

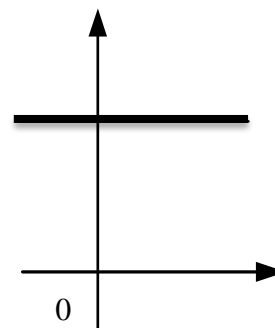
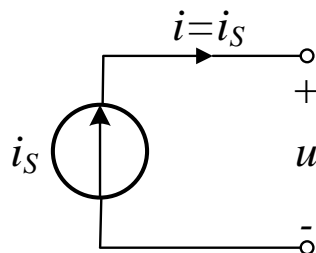
独立电源：能向电路独立提供电能的实际装置

独立电源

独立电压源

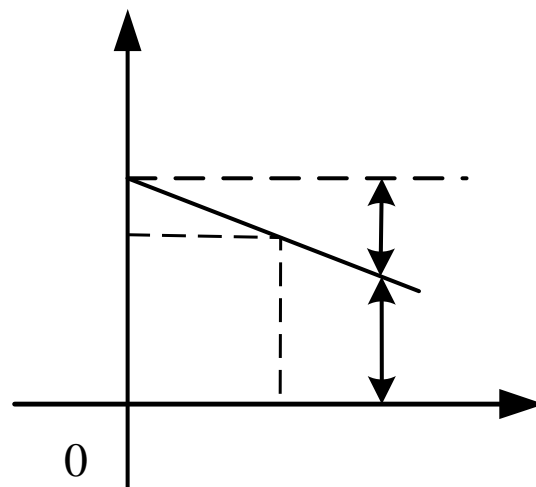
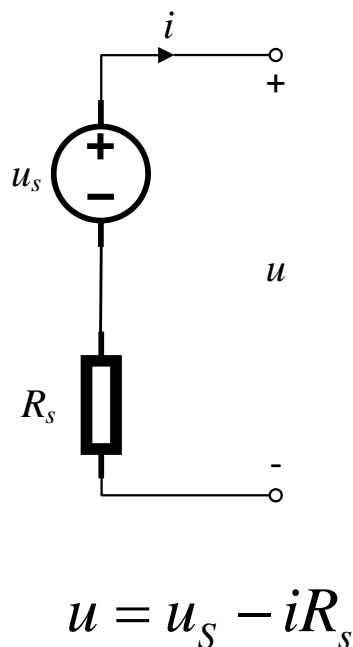


独立电流源



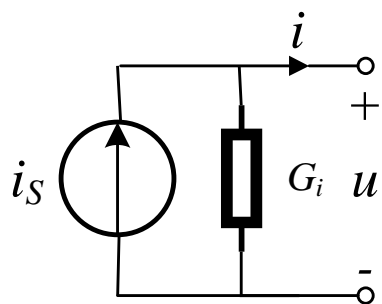
1.4.2 独立电源

实际电压源可以用理想电压源和一个内阻的串联来模拟

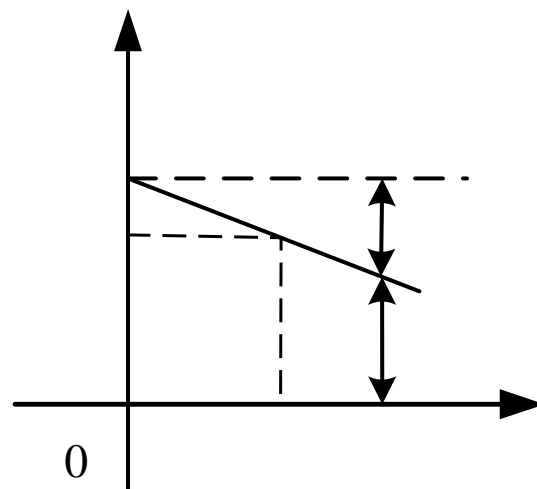


1.4.2 独立电源

实际电流源可以用理想电流源和一个内电导的并联来模拟



$$i = i_S - uG_i$$

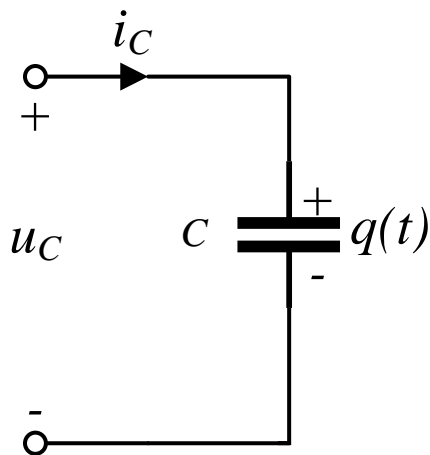


1.4.3 电容器元件

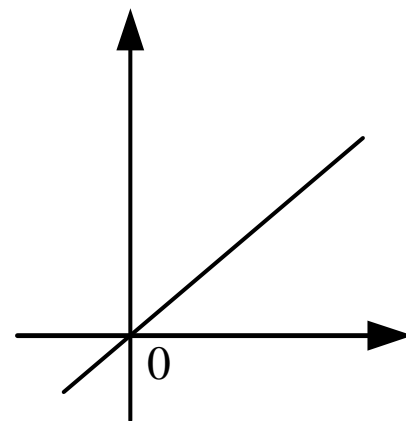
电容器（Capacitor）是一种储存电场能量的元件

1. 线性定常电容

一个电容器的库-伏特性曲线在 $q-u$ 平面上是一条通过原点且不随时间变化的直线



$$q(t) = Cu_C(t)$$

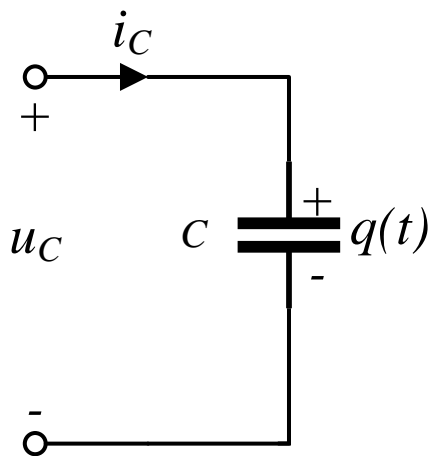


$$i_C(t) = \frac{dq(t)}{dt} = C \frac{du_C(t)}{dt}$$

隔直通交

1.4.3 电容器元件

1. 线性定常电容



$$i_C(t) = C \frac{du_C(t)}{dt}$$

$$u_C(t) = \frac{1}{C} \int_{-\infty}^t i_C(\tau) d\tau$$

$$u_C(t) = \frac{1}{C} \int_{-\infty}^t i_C(\tau) d\tau = \frac{1}{C} \int_{-\infty}^{t_0} i_C(\tau) d\tau + \frac{1}{C} \int_{t_0}^t i_C(\tau) d\tau$$

$$= u_C(t_0) \varepsilon(t - t_0) + \frac{1}{C} \int_{t_0}^t i_C(\tau) d\tau$$

初始电压

$u_C(t_0) \varepsilon(t - t_0)$ 有两层意思

- (1) 表示初始电压对 $t \geq t_0$ 以后电容电压的变化进程一直有影响；
- (2) 初始电压仅对 $t \geq t_0$ 有意义，而对 $t < t_0$ 无效

1.4.3 电容器元件

1. 线性定常电容

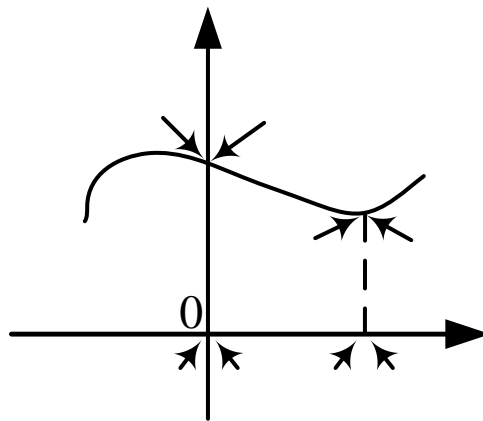
$$u_C(t_1) = u_C(t_0)\varepsilon(t - t_0) + \frac{1}{C} \int_{t_0}^{t_1} i_C(\tau) d\tau$$

$$u_C(t_1 + dt) = u_C(t_0)\varepsilon(t - t_0) + \frac{1}{C} \int_{t_0}^{t_1 + dt} i_C(\tau) d\tau$$

$$u_C(t_1 + dt) - u_C(t_1) = \frac{1}{C} \int_{t_0}^{t_1 + dt} i_C(\tau) d\tau - \frac{1}{C} \int_{t_0}^{t_1} i_C(\tau) d\tau = \frac{1}{C} \int_{t_1}^{t_1 + dt} i_C(\tau) d\tau$$

$$u_C(t_1^+) = u_C(t_1^-)$$

$$q_C(t_1^+) = q_C(t_1^-)$$



1.4.3 电容器元件

3. 线性定常电容器的功率和储能

$$p_C(t) = u_C(t)i_C(t) = Cu_C(t)\frac{du_C(t)}{dt}$$

$p_C(t) > 0$ 表示电容器从外电路吸收功率，
此时电容器储存电场能；

$p_C(t) < 0$ 表示电容器对外电路输出功率，
此时电容器释放大电场能

1.4.3 电容器元件

3. 线性定常电容器的功率和储能

$$p_C(t) = u_C(t)i_C(t) = Cu_C(t)\frac{du_C(t)}{dt}$$

$$\begin{aligned} W_C(-\infty, t) &= \int_{-\infty}^t p_C(\tau) d\tau = \int_{-\infty}^t u_C(\tau) i_C(\tau) d\tau \\ &= \int_{-\infty}^t u_C(\tau) \left[C \frac{du_C(\tau)}{d\tau} \right] d\tau = \int_{u_C(-\infty)}^{u_C(t)} Cu_C(\tau) du_C(\tau) \\ &= \frac{1}{2} C [u_C^2(t) - u_C^2(-\infty)] \end{aligned}$$

若电容器初始无充电，即 $u_C(-\infty) = 0$

$$W_C(t) = \frac{1}{2} Cu_C^2(t)$$

电容器在某一时刻的储能只取决于该时刻电容器的电压值，而与电容电压过去变化过程及电容电流值均无关

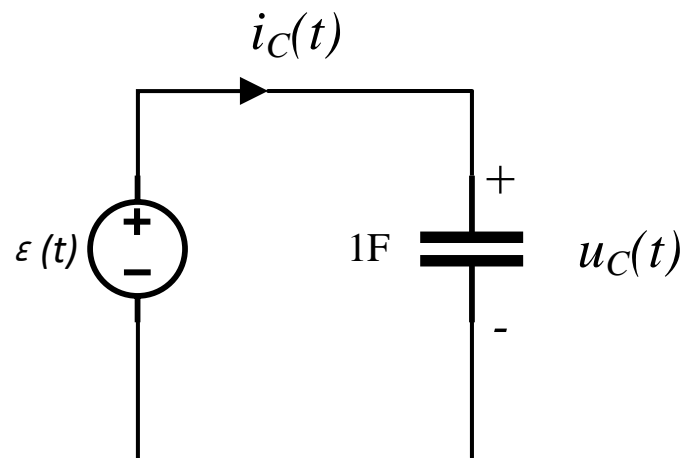
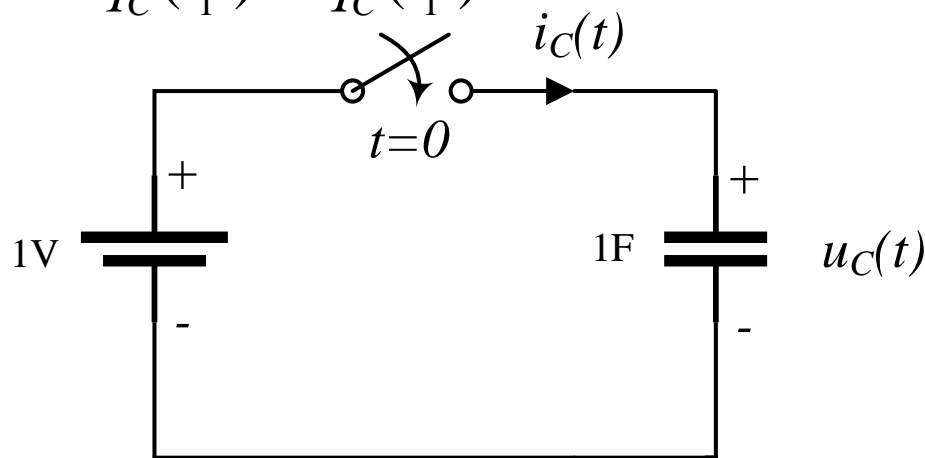
1.4.2 独立电源

1. 线性定常电容

$$u_C(t_1^+) = u_C(t_1^-)$$

$$q_C(t_1^+) = q_C(t_1^-)$$

前提：电压和电荷不能跃变的前提是流过电容的电流为有限值

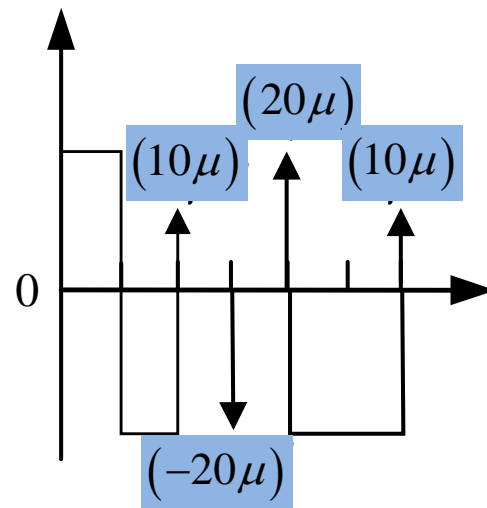
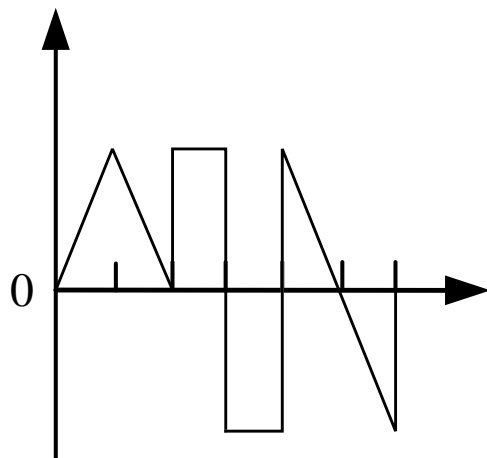
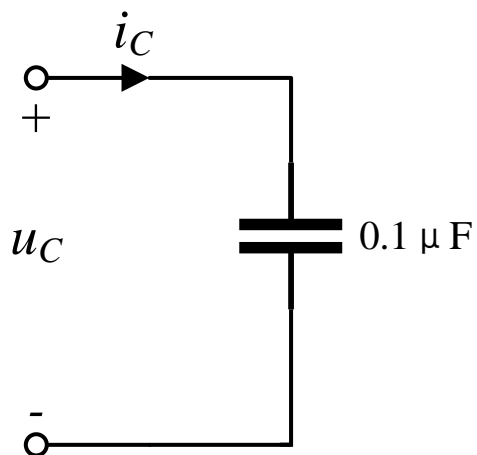


$$i_C(t) = C \frac{du_C(t)}{dt} = \frac{d\varepsilon(t)}{dt} = \delta(t)$$

反之，若有一单位冲激电流 $\delta(t)$ 作用于电容，电容电压发生跳变

1.4.2 独立电源

例1.4-1 图1.4-12 (a) 中线性电容的端电压波形如图1.4-10 (b) 所示，且已知初始电压为0，试求 $t > 0$ 通过电容器的电流 $i_C(t)$

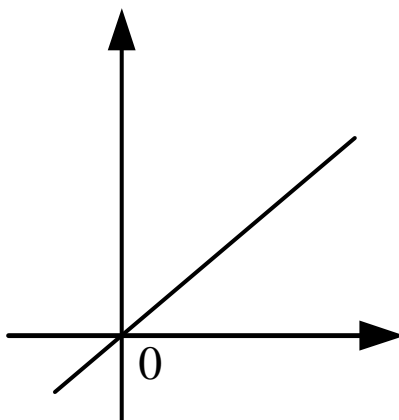
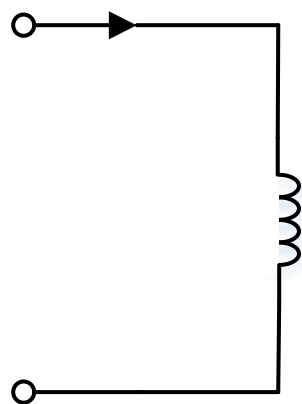
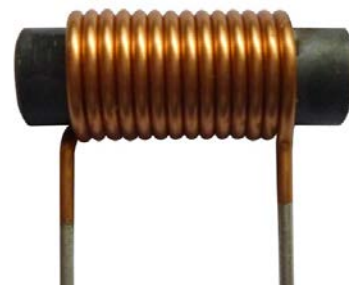


$$i_C(t) = C \frac{du_C(t)}{dt}$$

1.4.4电感器元件

1. 线性定常电感

一个电感器的特性曲线 $\psi - i$ 在平面上是一条通过原点且不随时间变化的直线



$$\psi(t) = Li_L(t)$$

$$u_L(t) = \frac{d\psi(t)}{dt}$$

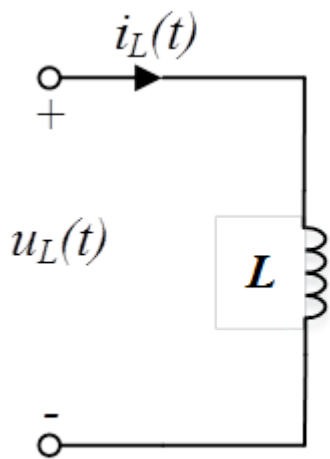
电压和电流取关联参考方向时

$$u_L(t) = \frac{d\psi(t)}{dt} = \frac{d[Li_L(t)]}{dt} = L \frac{di_L(t)}{dt}$$

隔交通直

1.4.4 电感器元件

1. 线性定常电感



$$u_L(t) = L \frac{di_L(t)}{dt}$$

$$i_L(t) = \frac{1}{L} \int_{-\infty}^t u_L(\tau) d\tau$$

$$\begin{aligned} i_L(t) &= \frac{1}{L} \int_{-\infty}^t u_L(\tau) d\tau = \frac{1}{L} \int_{-\infty}^{t_0} u_L(\tau) d\tau + \frac{1}{L} \int_{t_0}^t u_L(\tau) d\tau \\ &= i_L(t_0) \varepsilon(t - t_0) + \frac{1}{L} \int_{t_0}^t u_L(\tau) d\tau \end{aligned}$$

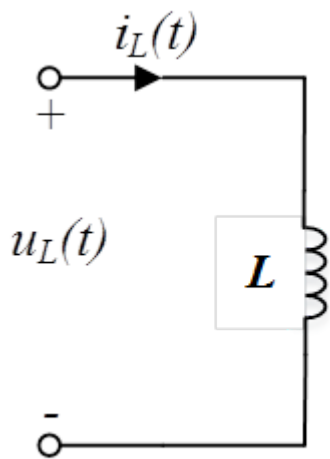
初始电流

$i_L(t_0) \varepsilon(t - t_0)$ 有两层意思

- (1) 表示初始电流对 $t \geq t_0$ 以后电感电流的变化进程一直有影响
- (2) 初始电流仅对 $t \geq t_0$ 有意义，而对 $t < t_0$ 无效

1.4.4电感器元件

1. 线性定常电感



$$u_L(t) = L \frac{di_L(t)}{dt}$$

$$i_L(t) = \frac{1}{L} \int_{-\infty}^t u_L(\tau) d\tau$$

$$i_L(t_0^+) = i_L(t_0^-)$$

$$\psi(t_0^+) = \psi(t_0^-)$$

前提：电流和磁链不能跃变的前提是电感的电压为有限值

一个线性定常电感器，若在其两端施加冲激电压，则电感器中的电流也发生跳变

1.4.4电感器元件

2.线性定常电感器的功率和储能

$$p_L(t) = u_L(t)i_L(t) = L \frac{di_L(t)}{dt} i_L(t)$$

$p_L(t) > 0$ 表示电感器从外电路吸收功率，
此时电感器储存磁能；

$p_L(t) < 0$ 表示电感器对外电路输出功率，
此时电感器释放磁能

1.4.4电感器元件

2.线性定常电感器的功率和储能

$$p_L(t) = u_L(t)i_L(t) = L \frac{di_L(t)}{dt} i_L(t)$$

$$\begin{aligned} W_L(-\infty, t) &= \int_{-\infty}^t p_L(\tau) d\tau = \int_{-\infty}^t u_L(\tau) i_L(\tau) d\tau \\ &= \int_{-\infty}^t \left[L \frac{di_L(\tau)}{d\tau} \right] i_L(\tau) d\tau = \int_{i_L(-\infty)}^{i_L(t)} L i_L(\tau) di_L(\tau) \\ &= \frac{1}{2} L [i_L^2(t) - i_L^2(-\infty)] \end{aligned}$$

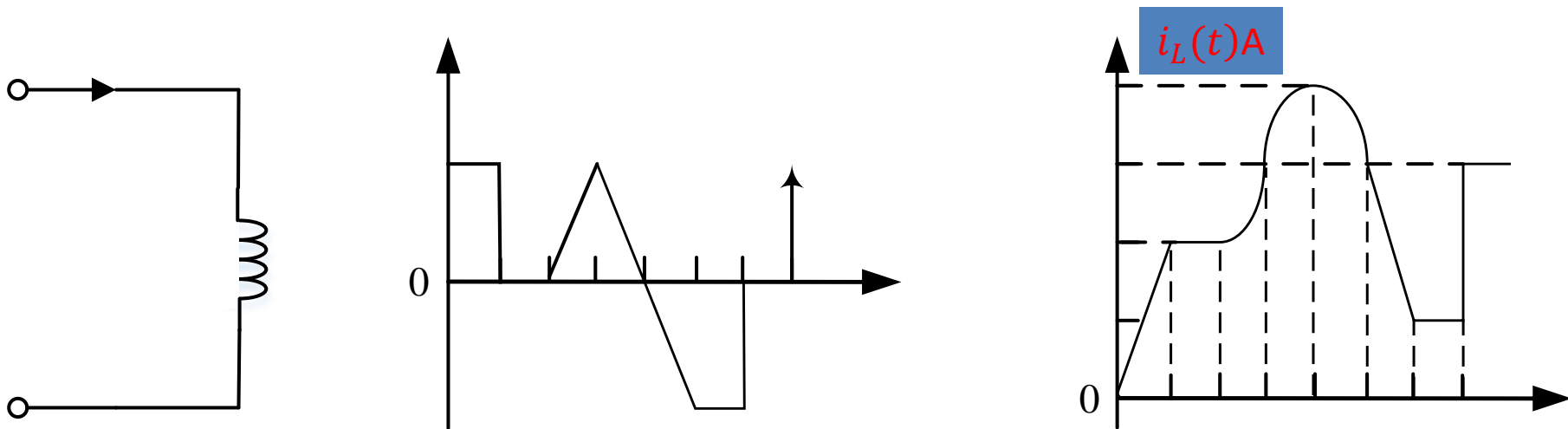
若电感器初始无储能，即 $i_L(-\infty) = 0$

$$W_L(t) = \frac{1}{2} L i_L^2(t)$$

电感器在某一时刻的储能只取决于该时刻电感器的电流值，而与电感电流过去变化过程及电感电压值均无关

1.4.4 电感器元件

例1.4-2 图1.4-15 (a) 中线性电感的端电压波形如图1.4-15 (b) 所示, 且已知电感的初始电流为0, 试求 $t > 0$ 通过电感器的电流 $i_L(t)$

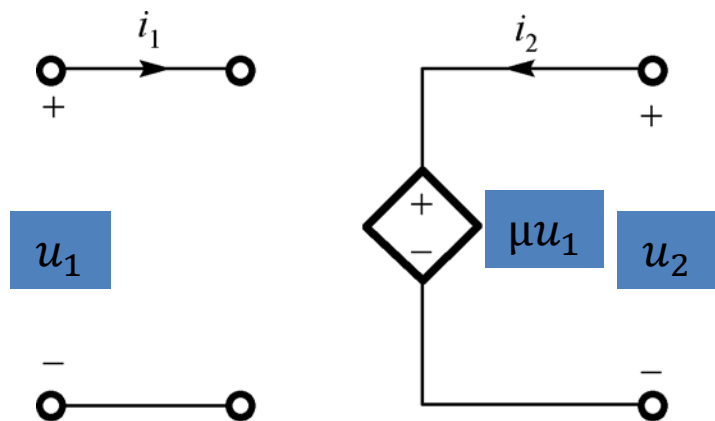


$$i_L(t) = i_L(t_0)\varepsilon(t - t_0) + \frac{1}{L} \int_{t_0}^t u_L(\tau) d\tau$$

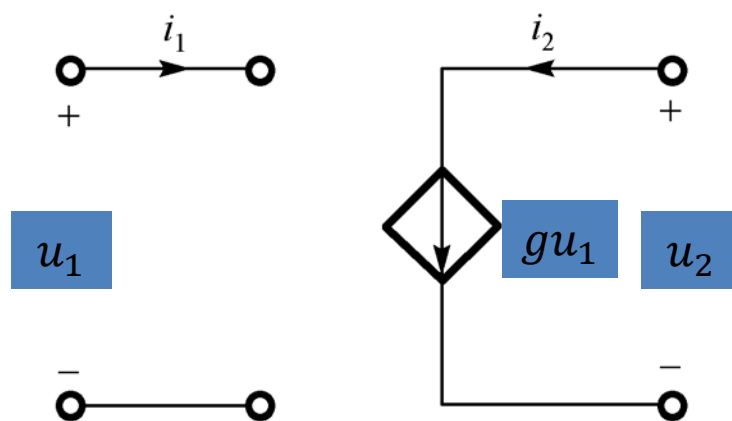
1.4.5 受控源元件

1. 电流控制电流源 (CCCS)
2. 电压控制电流源 (VCCS)
3. 电压控制电压源 (VCVS)
4. 电流控制电压源 (CCVS)

1.4.5 受控源元件



(a) VCVS

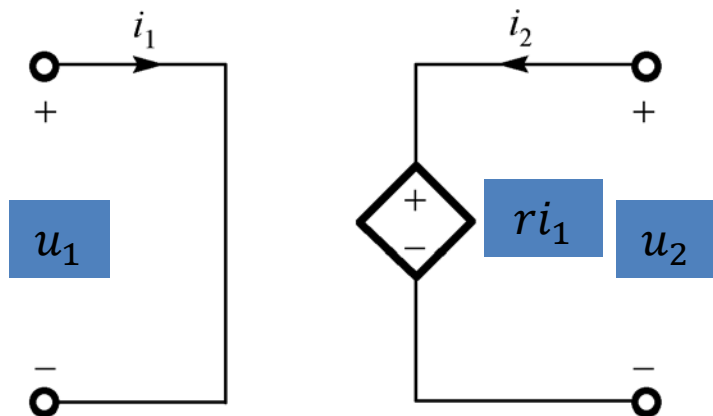


(b) VCCS

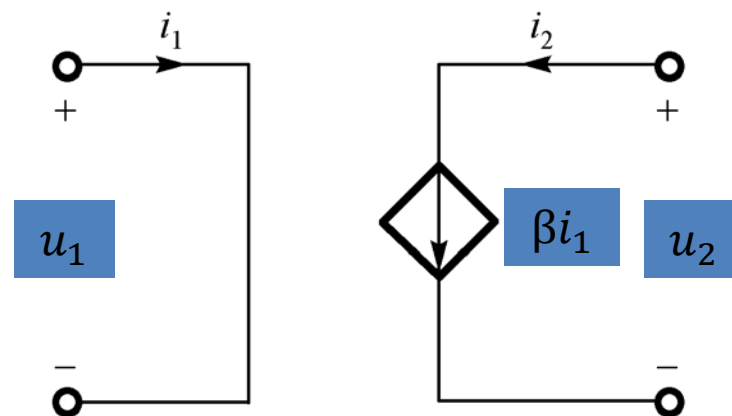
(a) VCVS :
$$\begin{cases} u_2 = \mu u_1 \\ i_1 = 0 \end{cases}$$
 其中 μ 称为转移电压比, 无量纲;

(b) VCCS :
$$\begin{cases} i_2 = g u_1 \\ i_1 = 0 \end{cases}$$
 其中 g 称为转移电导, 具有电导量纲;

1.4.5 受控源元件



(c) CCVS



(d) CCCS

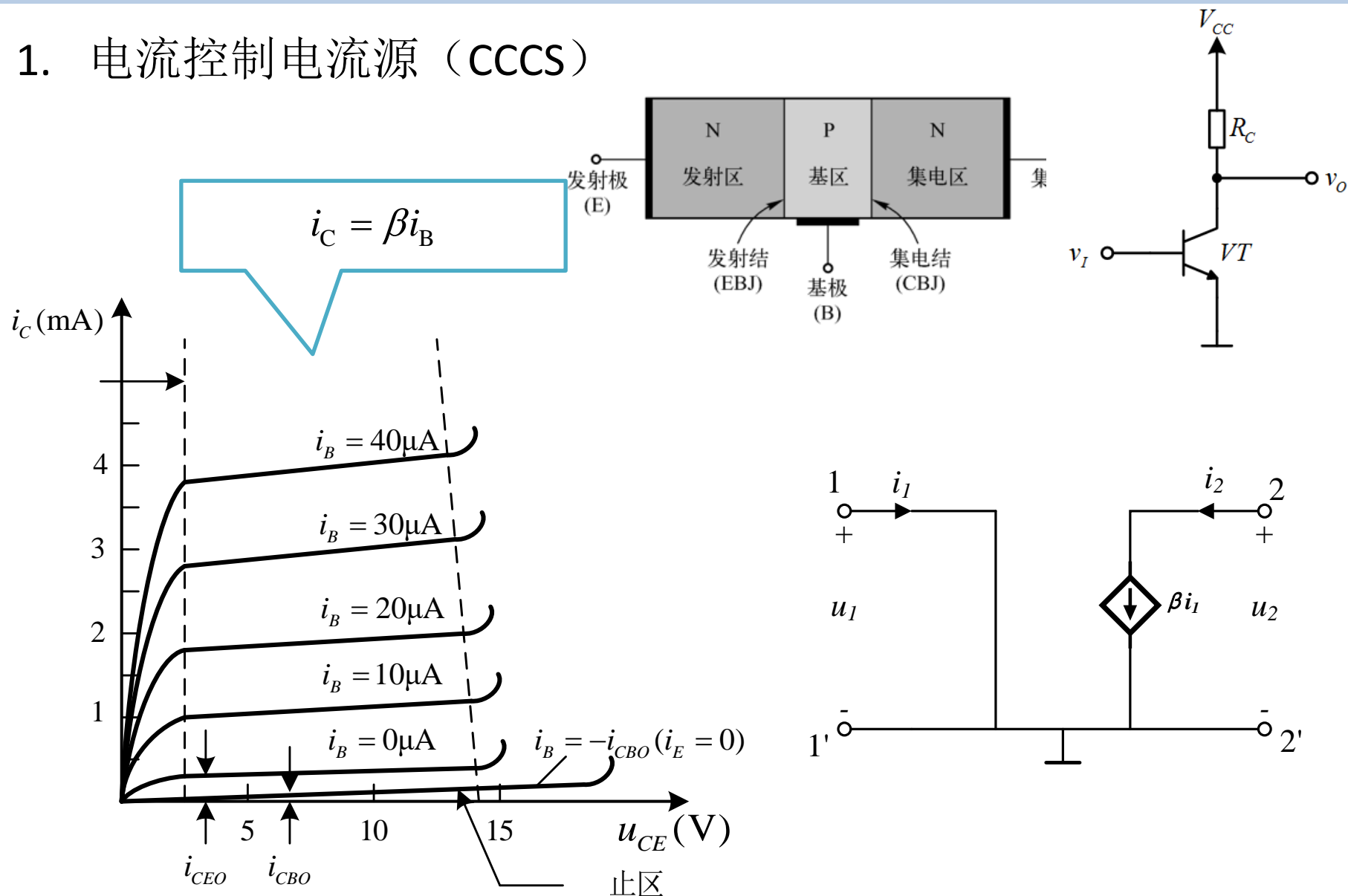
(c) CCVS: $\begin{cases} u_2 = ri_1 \\ u_1 = 0 \end{cases}$ 其中 r 称为转移电阻, 具有电阻量纲;

(d) CCCS: $\begin{cases} i_2 = \beta i_1 \\ u_1 = 0 \end{cases}$ 其中 β 称为转移电流比, 无量纲。

若 μ 、 g 、 r 、 β 是常数, 则受控源为线性受控源。

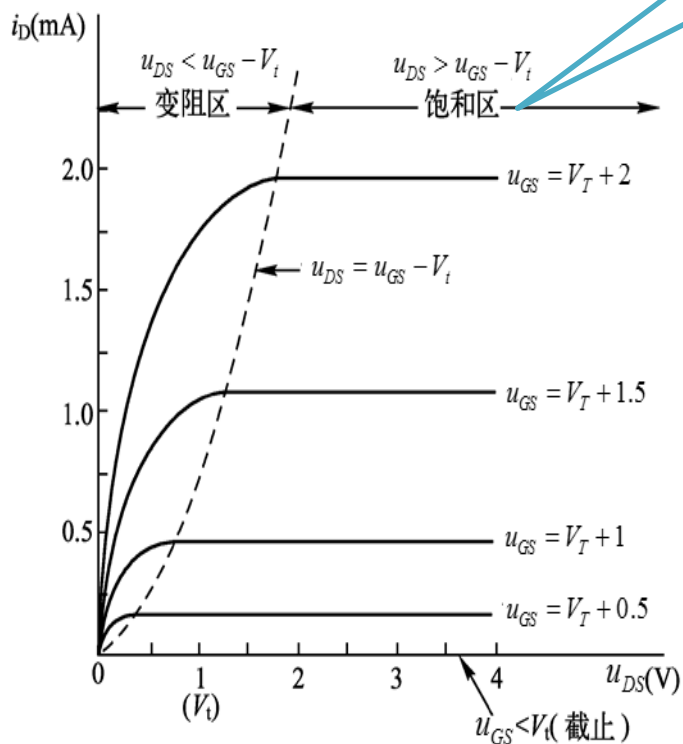
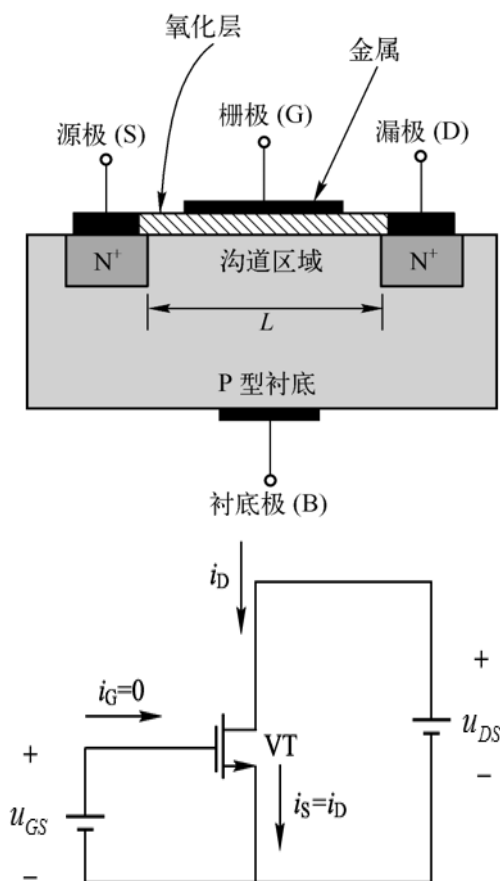
1.4.5 受控源元件

1. 电流控制电流源 (CCCS)

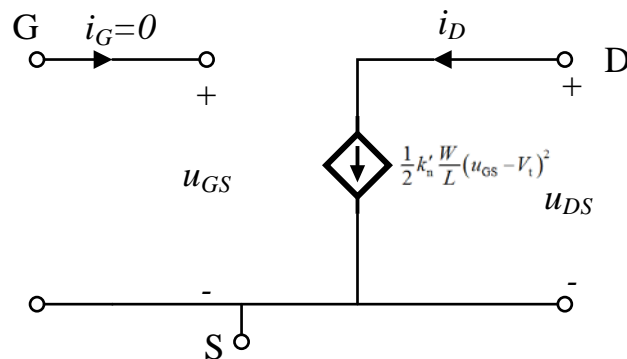


1.4.5 受控源元件

2. 电压控制电流源 (VCCS)



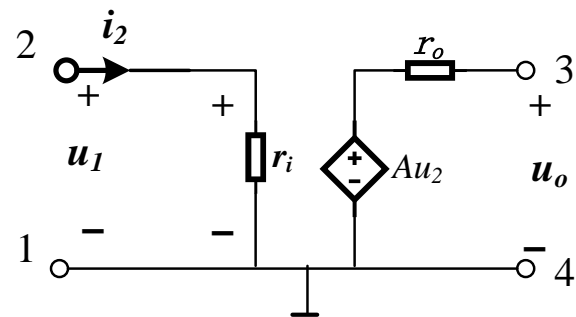
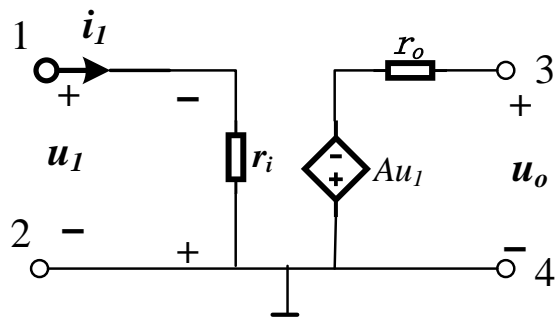
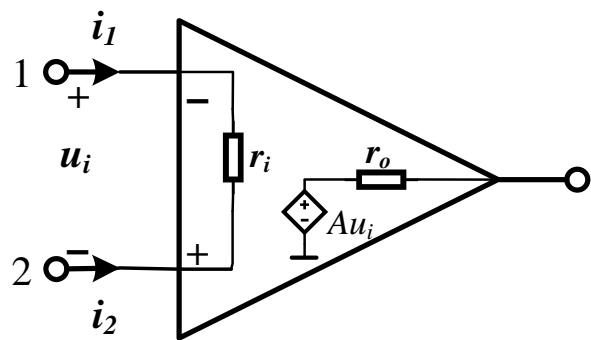
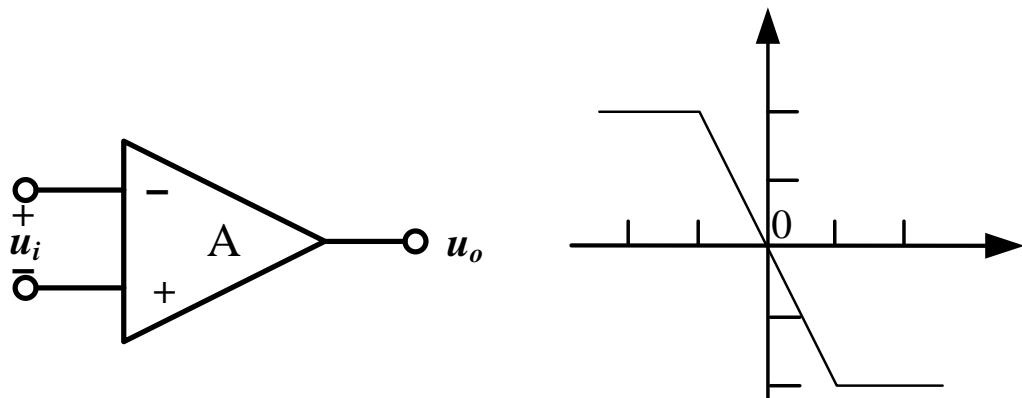
$$i_D = \frac{1}{2} k'_n \frac{W}{L} (u_{GS} - V_t)^2$$



N沟道场效应管结构、电路符号与输出特性

1.4.5 受控源元件

3. 电压控制电压源 (VCVS)



1.4.5 受控源元件

3. 电压控制电压源 (VCVS)

如果线性集成运放满足以下三个条件，则称之为**理想运放**

(1) 输入电阻 $r_i \rightarrow \infty$

虚断 $i_- \rightarrow 0$ $i_+ \rightarrow 0$

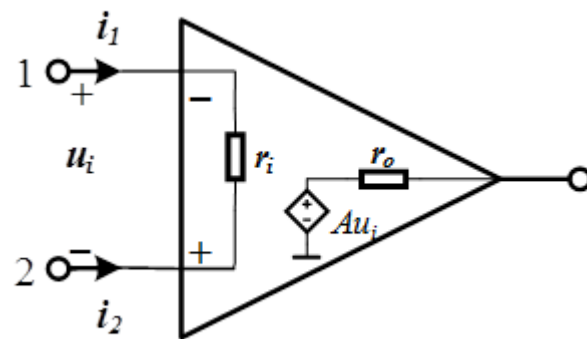
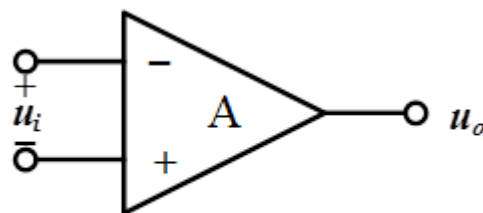
(2) 输出电阻 $r_o \rightarrow 0$

运放输出的等效电压控制电压源
直接施加于负载之上

(3) 开环放大倍数 $A \rightarrow \infty$

$$u_i = u_1 - u_2 = -u_o / A \rightarrow 0$$

虚短 $(u_- - u_+) \rightarrow 0$



1.4.5 受控源元件

3. 电压控制电压源 (VCVS)

例1.4-3 如图1.4-22为输入信号 u_i 加到运放的同相端，试求输出电压的表达式

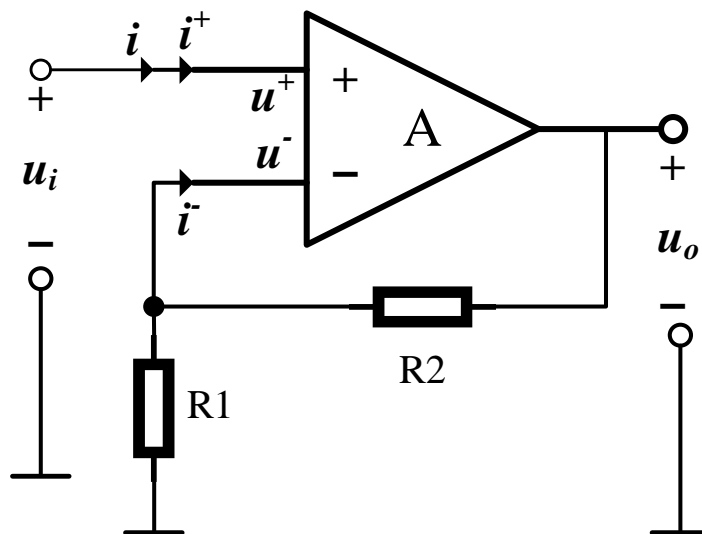
$$i_- \rightarrow 0 \quad i_+ \rightarrow 0$$

$$(u_- - u_+) \rightarrow 0$$

$$u_+ = u_- = \frac{R_1}{R_1 + R_2} u_o$$

$$u_i = u_+ = \frac{R_1}{R_1 + R__2} u_o$$

$$u_o = \left(1 + \frac{R_2}{R_1} \right) u_i$$

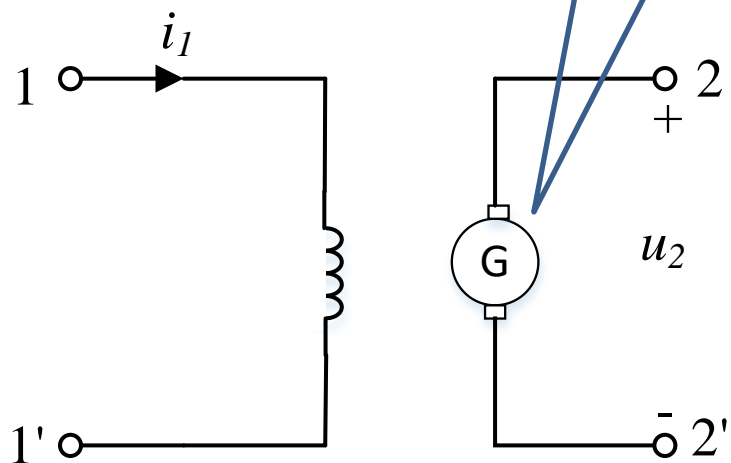


1.4.5 受控源元件

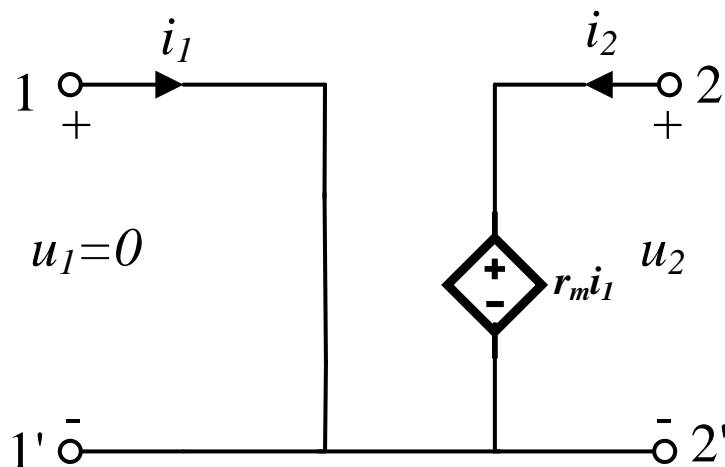
4. 电流控制电压源 (CCVS)

励磁电流

感应电压

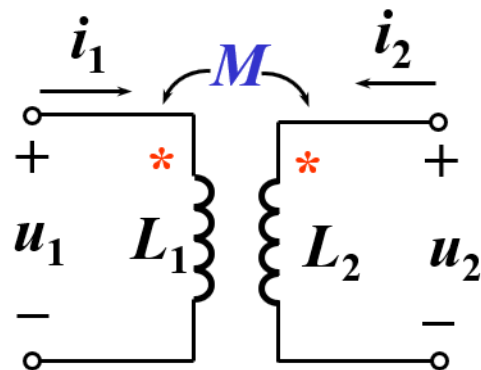
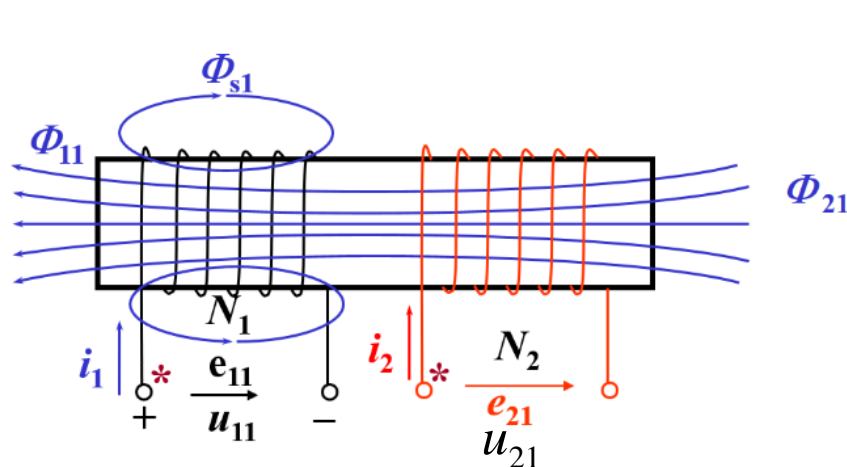


他激直流发电机



1.4.6 耦合电感元件和理想变压器

1. 耦合电感元件



$$M_{12} = M_{21} = M$$

$$u_{11} = L_1 \frac{di_1}{dt} \quad u_{21} = \frac{d\psi_{21}}{dt} = M_{21} \frac{di_1}{dt}$$

$$u_{12} = \frac{d\psi_{12}}{dt} = M_{12} \frac{di_2}{dt} \quad u_{22} = L_2 \frac{di_2}{dt}$$

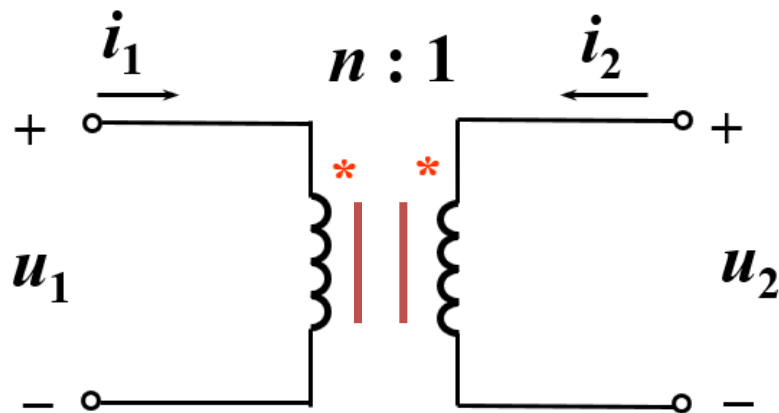
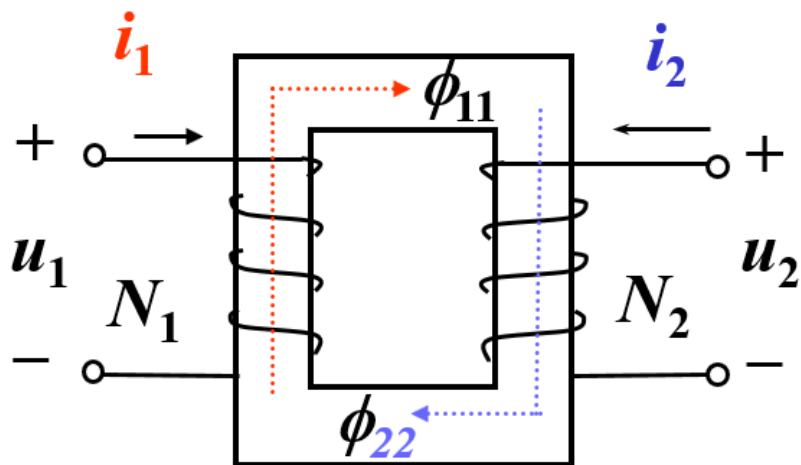
$$u_1 = u_{11} + u_{12} = L_1 \frac{di_1}{dt} + M_{12} \frac{di_2}{dt}$$

$$u_2 = u_{22} + u_{21} = L_2 \frac{di_2}{dt} + M_{21} \frac{di_1}{dt}$$

当两个电流分别从两个线圈的对应端子流入，其所产生的磁场相互加强时，则这两个对应端子称为同名端

1.4.6 耦合电感元件和理想变压器

2. 理想变压器



满足以下条件：

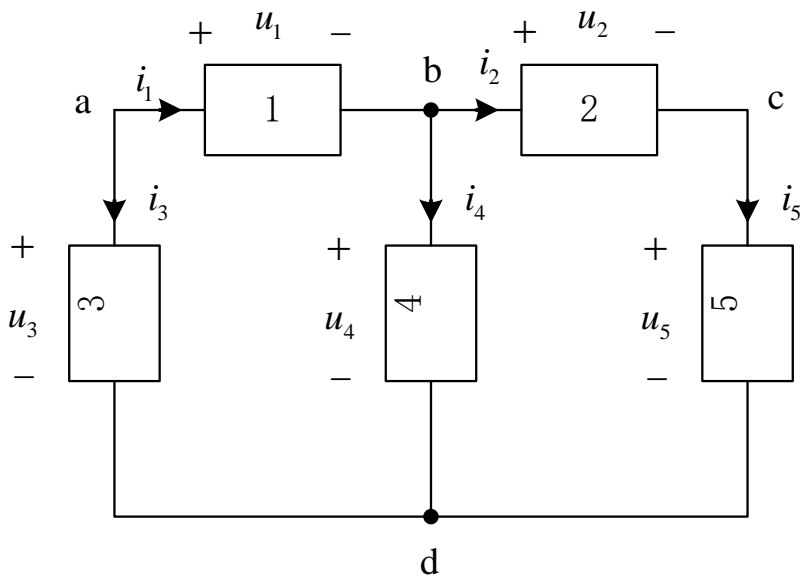
- (1) 无损耗，无线圈电阻；
- (2) 全耦合；
- (3) 磁导率 $\mu \rightarrow \infty$

$$\frac{u_1}{u_2} = \frac{N_1}{N_2} = n$$

$$\frac{i_1}{i_2} = -\frac{N_2}{N_1} = -\frac{1}{n}$$

1.5 基尔霍夫定律

{ 基尔霍夫电流定律 (KCL)
基尔霍夫电压定律 (KVL)



名词介绍:

支路

节点

回路

网孔

1.5基尔霍夫定律

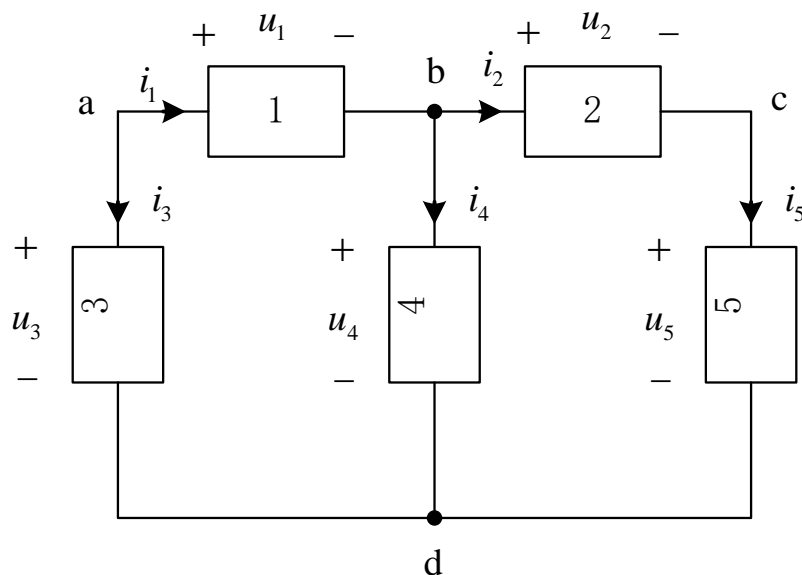
1.基尔霍夫电流定律（KCL）

反映集总参数电路中，与节点相连的各支路电流之间的约束关系

表述1: $\sum i_{\text{出}} = 0$

表述2: $\sum i_{\text{入}} = 0$

表述3: $\sum i_{\text{出}} = \sum i_{\text{入}}$



1.5基尔霍夫定律

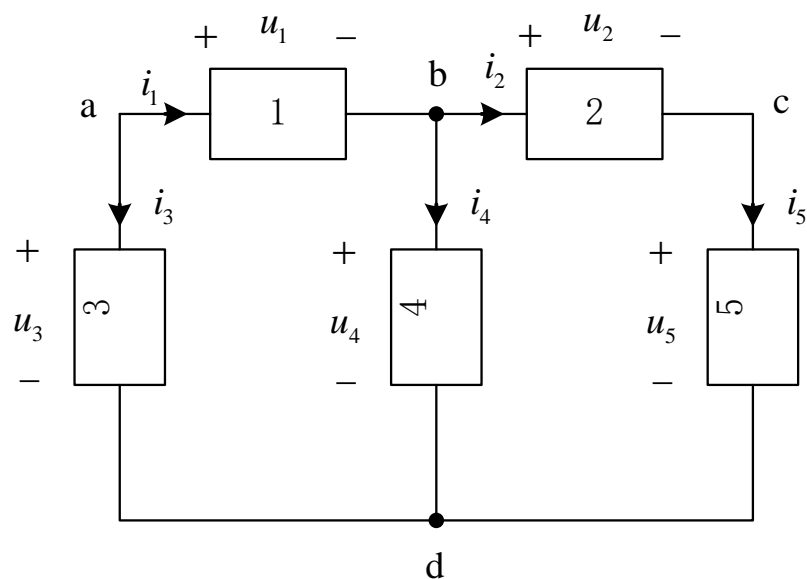
例1.5-1 利用表述2列写图1.5-1中节点a、b、c和d的KCL方程。

节点a: $-i_1 - i_3 = 0$

节点b: $i_1 - i_2 - i_4 = 0$

节点c: $i_2 - i_5 = 0$

节点d: $i_3 + i_4 + i_5 = 0$



可见，这4个方程不是独立的，可以从任何三个方程推导出第四个方程，即该电路只有3个独立的KCL方程。一般，对于 n 个节点的电路，可列写 $n-1$ 个独立的KCL方程。

1.5 基尔霍夫定律

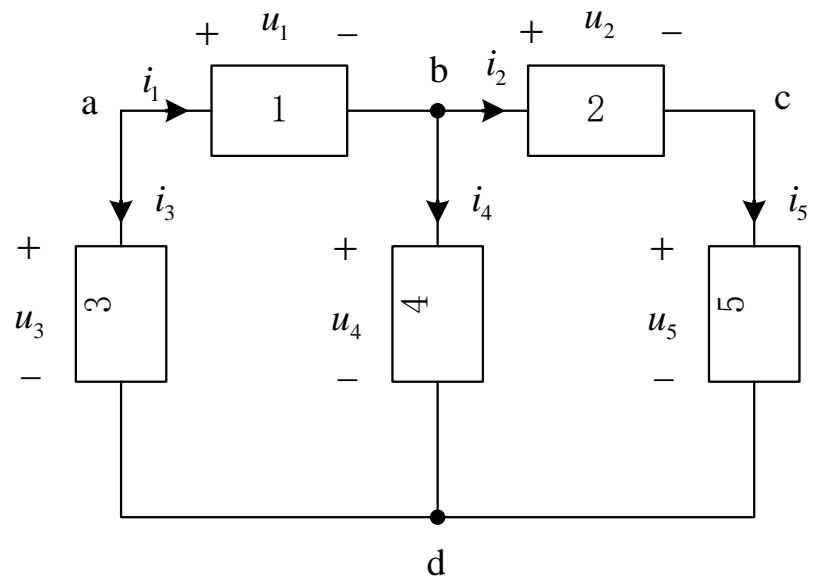
2. 基尔霍夫电压定律 (KVL)

反映集总参数电路中，任一回路内所有元件之间的电压约束关系

表述1: $\sum u_{\text{降}} = 0$

表述2: $\sum u_{\text{升}} = 0$

表述3: $\sum u_{\text{降}} = \sum u_{\text{升}}$



(先假定一回路方向)

1.5基尔霍夫定律

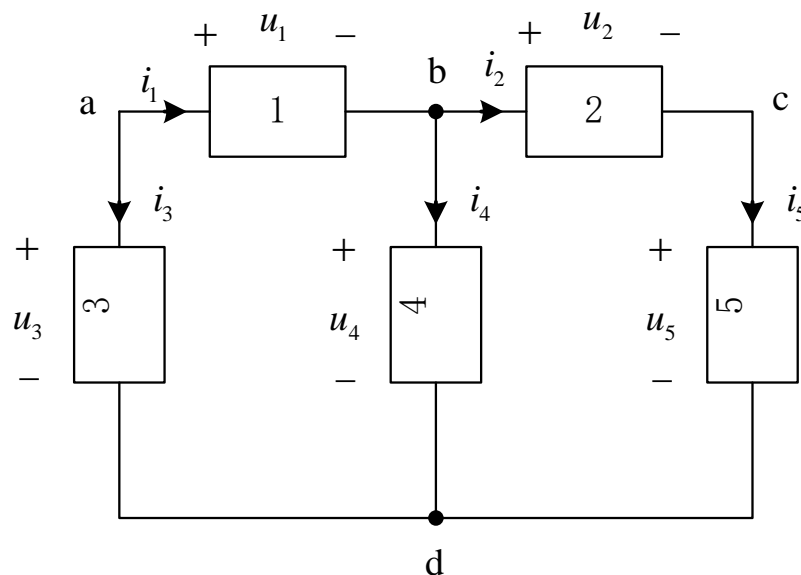
例1.5-2 利用表述3列写图1.5-1所示电路中各回路的KVL方程。

解 假定各回路方向为顺时针方向，可得

回路abda: $u_1 + u_4 = u_3$

回路bcdcb: $u_2 + u_5 = u_4$

回路abcda: $u_1 + u_2 + u_5 = u_3$



可见，这3个方程不是独立的，可以从任何两个方程推导出第三个方程，即该电路只有2个独立的KVL方程。一般，对于 n 个网孔的电路，可列写 n 个独立的KVL方程。

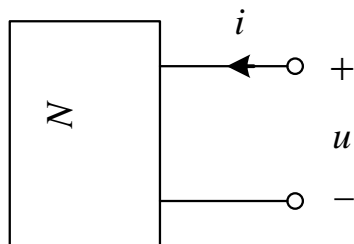
1.6 电路网络及其等效规律

1.6.1 单口网络和双口网络及其等效条件

1.6.2 典型单口网络的等效化简

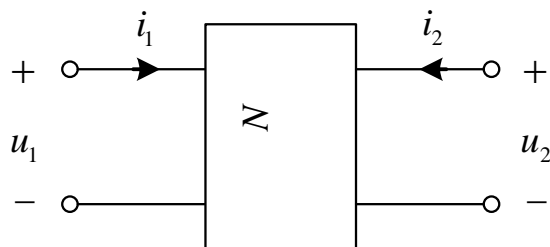
1.6.3 Y- Δ 的等效变换

1.6.1 单口网络和双口网络及其等效条件



若单口网络内部不含独立源，称为无源单口网络，用 N_0 表示

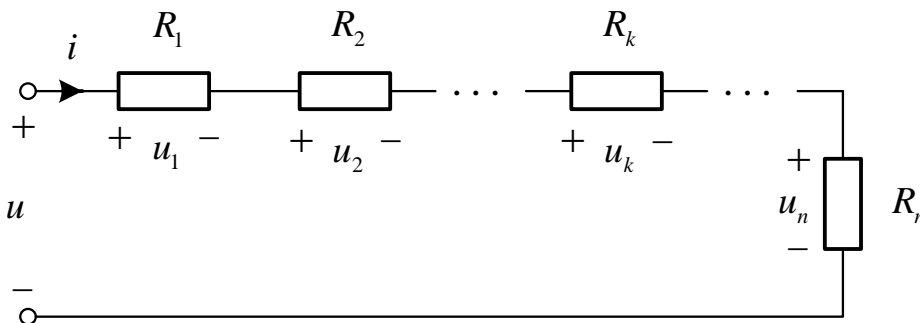
两个单口网络等效的条件是，端口的伏安关系（VAR）表达式完全一致。单口网络的等效，是对于端口外部电路而言是等效的，它们的内部结构和元件参数可以是不一样的。



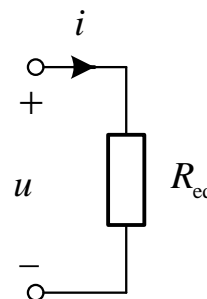
两个双口网络等效的条件是对应的两个端口的伏安关系（VAR）表达式完全一致

1.6.2 典型单口网络的等效化简

1. 电阻的串联



(a) 串联电阻



(b) 等效电阻

$$u = u_1 + u_2 + \dots + u_k + \dots + u_n = (R_1 + R_2 + \dots + R_k + \dots + R_n)i$$

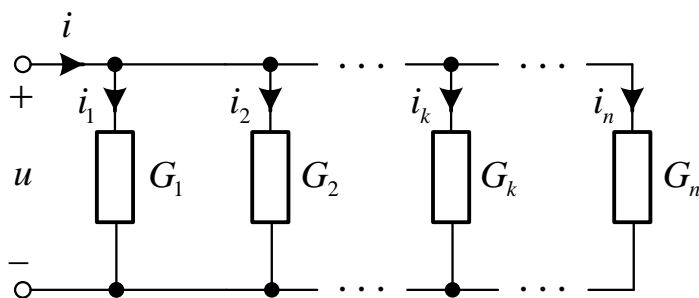
$$u = R_{eq}i$$

分压公式

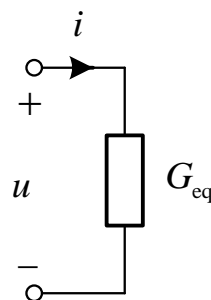
$$u_k = \frac{R_k}{R_{eq}}u$$

1.6.2 典型单口网络的等效化简

2. 电阻的并联



(a) 并联电阻（电导）



(b) 等效电阻（电导）

$$i = i_1 + i_2 + \dots + i_k + \dots + i_n = (G_1 + G_2 + \dots + G_k + \dots + G_n)u$$

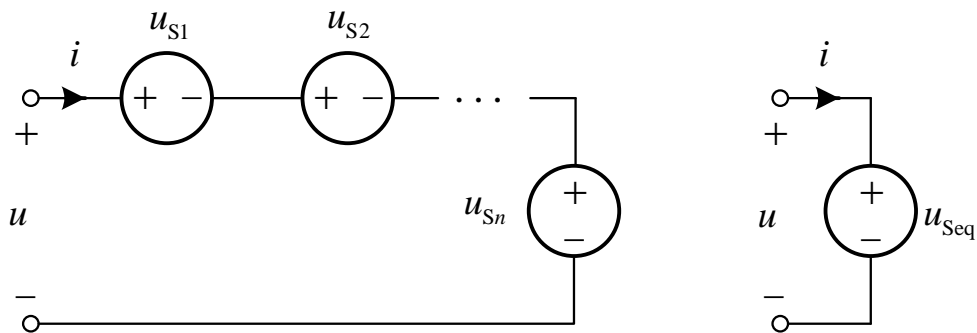
$$i = G_{eq}u$$

分流公式

$$i_k = \frac{G_k}{G_{eq}} i$$

1.6.2 典型单口网络的等效化简

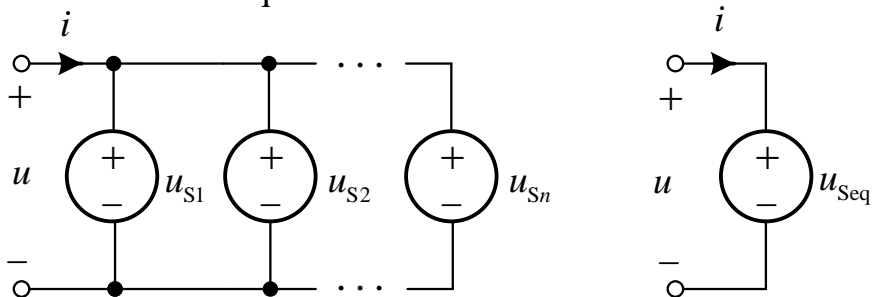
3. 理想电压源的串并联



(a) 理想电压源串联

(b) 等效电压源

$$u_{Seq} = u_{S1} + u_{S2} + \dots + u_{Sn}$$



(a) 理想电压源并联

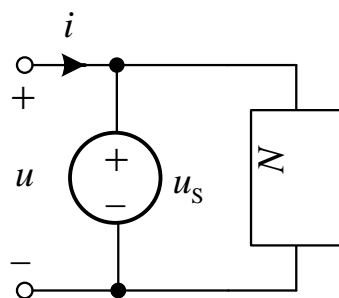
(b) 等效电压源

$$u_{Seq} = u_{S1} = u_{S2} = \dots = u_{Sn}$$

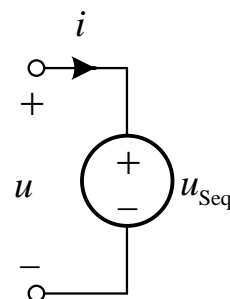
n 个理想电压源
的大小和方向
必须一致

1.6.2 典型单口网络的等效化简

理想电压源与单口网络的并联可以等效为一个理想电压源



(a) 理想电压源与单口网络的并联

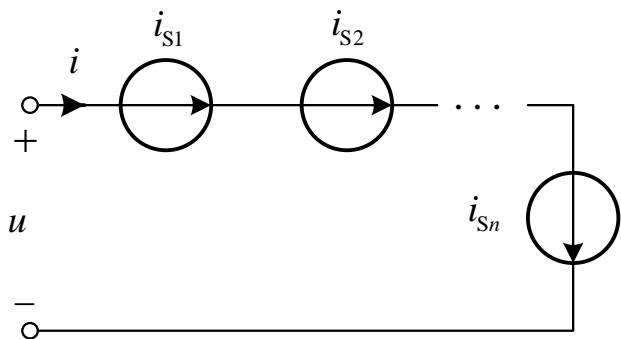


(b) 等效电压源

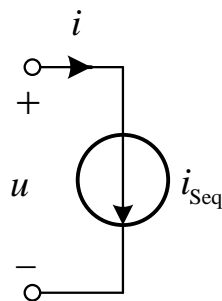
$$u_{seq} = u_s$$

1.6.2 典型单口网络的等效化简

4. 理想电流源的串并联



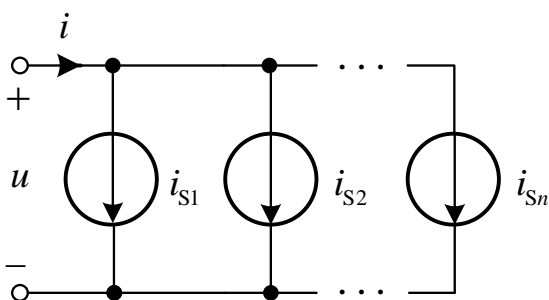
(a) 理想电流源的串联



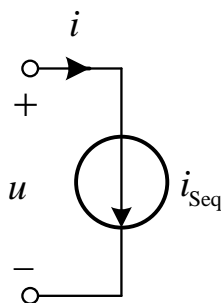
(b) 等效电流源

n 个电流源的大小和方向必须一致

$$i_{Seq} = i_{S1} = i_{S2} = \cdots = i_{Sn}$$



(a) 理想电流源的并联

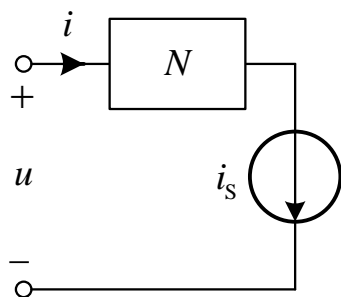


(b) 等效电流源

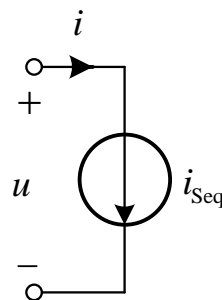
$$i_{Seq} = i_{S1} + i_{S2} + \cdots + i_{Sn}$$

1.6.2 典型单口网络的等效化简

理想电流源与单口网络的串联可以等效为一个理想电流源



(a) 理想电流源与单口网络的串联

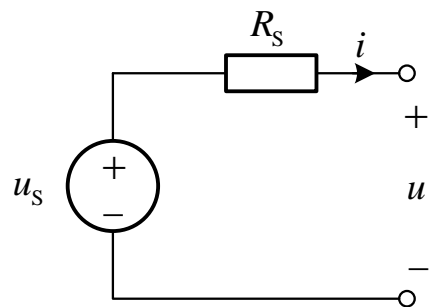


(b) 等效电流源

$$i_{\text{Seq}} = i_s$$

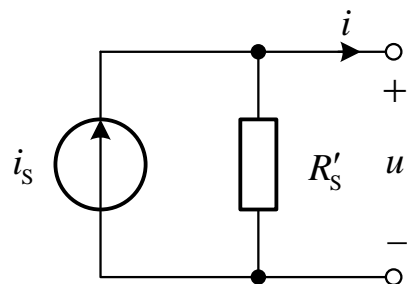
1.6.2 典型单口网络的等效化简

5. 实际电源



(a) 实际电压源模型

$$u = u_s - R_s i$$



(b) 实际电流源模型

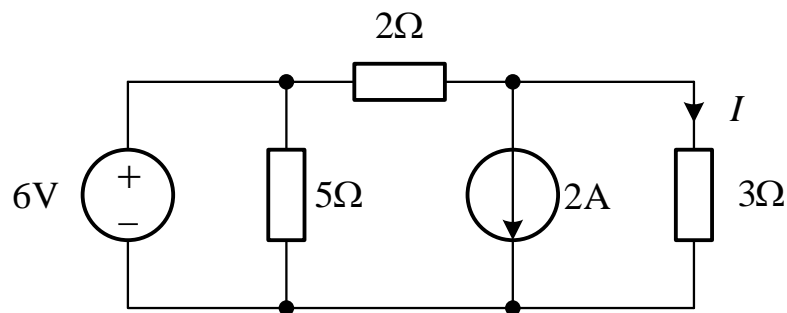
$$i = i_s - u / R'_s \quad \Rightarrow \quad u = R'_s i_s - R'_s i$$

等效条件

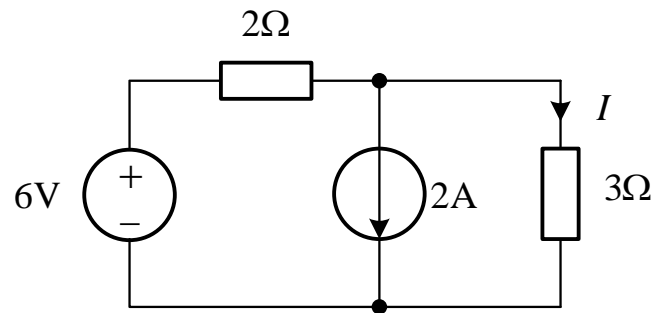
$$\begin{cases} R_s = R'_s \\ u_s = R_s i_s \end{cases}$$

1.6.2 典型单口网络的等效化简

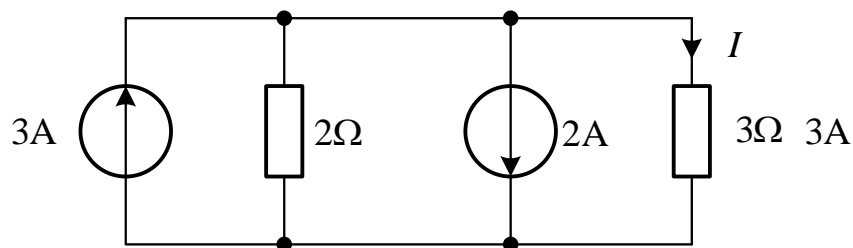
例1.6-1 利用单口网络简化计算图1.6-12 (a) 所示电路中的电流 I 。



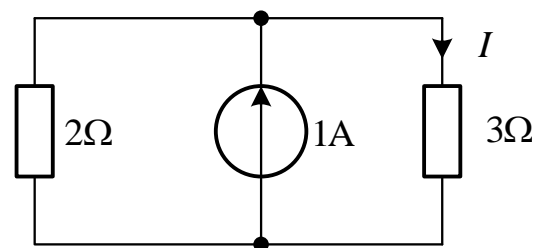
(a)



(b)



(c)

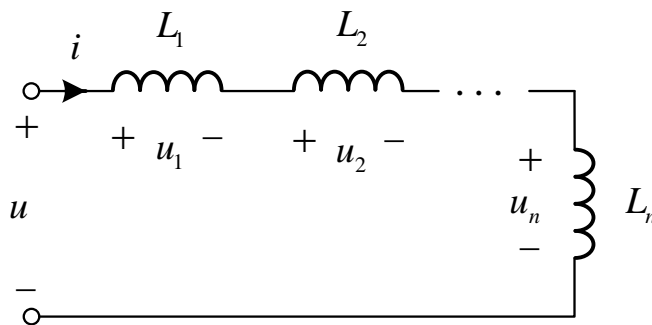


(d)

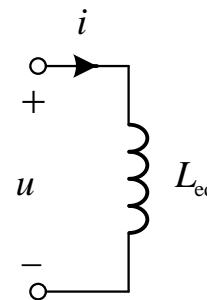
$$I = \frac{2}{2+3} \times 1 = \frac{2}{5} \text{ A}$$

1.6.2 典型单口网络的等效化简

6. 电感的串并联



(a) 电感的串联



(b) 等效电感

$$u = u_1 + u_2 + \cdots + u_n$$

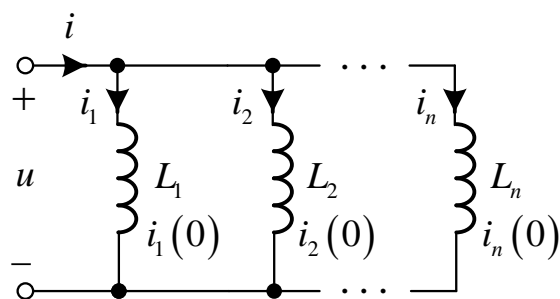
$$= L_1 \frac{d}{dt} i + L_2 \frac{d}{dt} i + \cdots + L_n \frac{d}{dt} i$$

$$= (L_1 + L_2 + \cdots + L_n) \frac{d}{dt} i$$

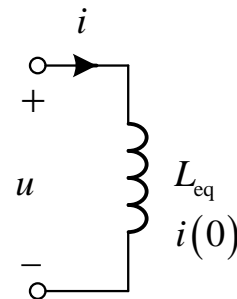
$$u = L_{eq} \frac{d}{dt} i$$

分压公式
$$u_k = \frac{L_k}{L_{eq}} u$$

1.6.2 典型单口网络的等效化简



(a) 电感的并联



(b) 等效电感

$$i = i_1 + i_2 + \cdots + i_n$$

$$= i_1(0) + \frac{1}{L_1} \int_0^t u(\tau) d\tau + i_2(0) + \frac{1}{L_2} \int_0^t u(\tau) d\tau + \cdots + i_n(0) + \frac{1}{L_n} \int_0^t u(\tau) d\tau$$

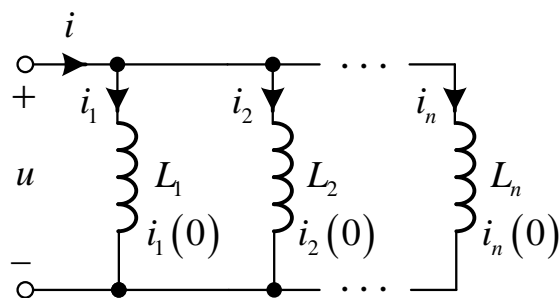
$$= i_1(0) + i_2(0) + \cdots + i_n(0) + \left(\frac{1}{L_1} + \frac{1}{L_2} + \cdots + \frac{1}{L_n} \right) \int_0^t u(\tau) d\tau$$

$$i = i(0) + \frac{1}{L_{eq}} \int_0^t u(\tau) d\tau$$

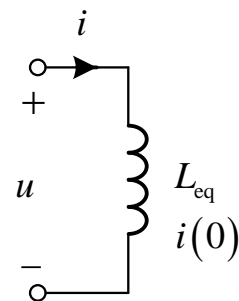
等效的条件

$$\begin{cases} i(0) = i_1(0) + i_2(0) + \cdots + i_n(0) \\ \frac{1}{L_{eq}} = \frac{1}{L_1} + \frac{1}{L_2} + \cdots + \frac{1}{L_n} \end{cases}$$

1.6.2 典型单口网络的等效化简



(a) 电感的并联

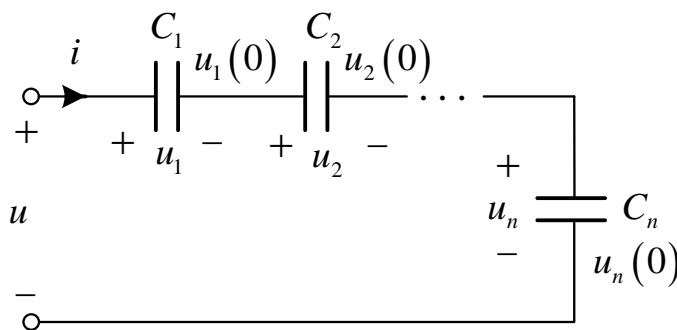


(b) 等效电感

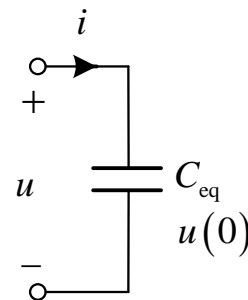
分流公式
$$i_k = \frac{1/L_k}{1/L_{eq}} i$$

1.6.2 典型单口网络的等效化简

7. 电容的串并联



(a) 电容的串联



(b) 等效电容

$$u = u_1 + u_2 + \cdots + u_n$$

$$= u_1(0) + \frac{1}{C_1} \int_0^t i(\tau) d\tau + u_2(0) + \frac{1}{C_2} \int_0^t i(\tau) d\tau + \cdots + u_n(0) + \frac{1}{C_n} \int_0^t i(\tau) d\tau$$

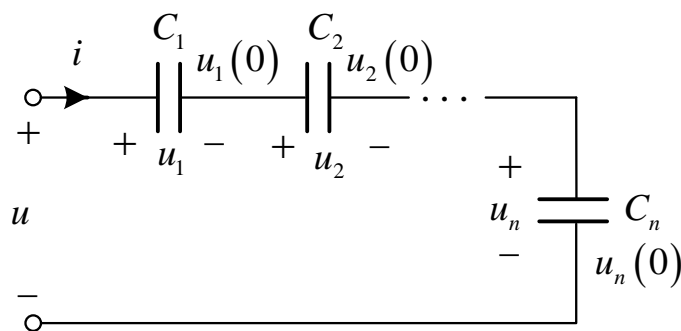
$$= u_1(0) + u_2(0) + \cdots + u_n(0) + \left(\frac{1}{C_1} + \frac{1}{C_2} + \cdots + \frac{1}{C_n} \right) \int_0^t i(\tau) d\tau$$

$$u = u(0) + \frac{1}{C_{eq}} \int_0^t i(\tau) d\tau$$

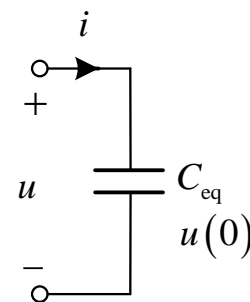
等效的条件

$$\begin{cases} u(0) = u_1(0) + u_2(0) + \cdots + u_n(0) \\ \frac{1}{C_{eq}} = \frac{1}{C_1} + \frac{1}{C_2} + \cdots + \frac{1}{C_n} \end{cases}$$

1.5 电路网络及其等效规律



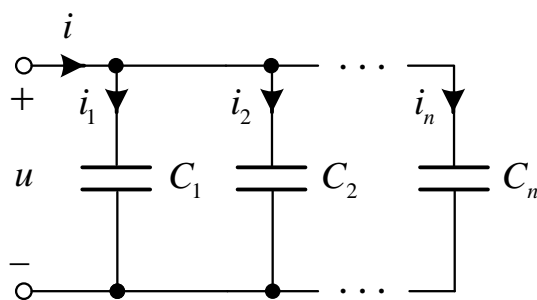
(a) 电容的串联



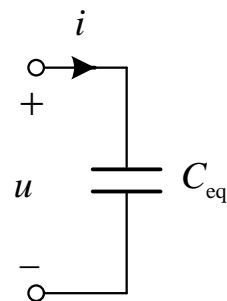
(b) 等效电容

分压公式 $u_k = \frac{1/C_k}{1/C_{eq}} u$

1.5 电路网络及其等效规律



(a) 电容的并联



(b) 等效电容

$$i = i_1 + i_2 + \cdots + i_n$$

$$= C_1 \frac{d}{dt} u + C_2 \frac{d}{dt} u + \cdots + C_n \frac{d}{dt} u$$

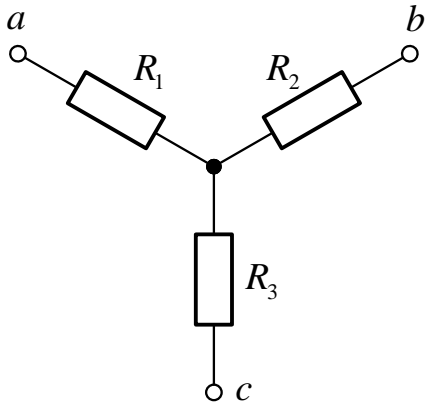
$$= (C_1 + C_2 + \cdots + C_n) \frac{d}{dt} u$$

$$i = C_{\text{eq}} \frac{d}{dt} u$$

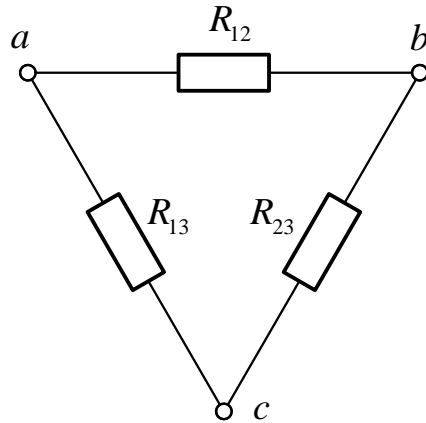
分流公式

$$i_k = \frac{C_k}{C_{\text{eq}}} i$$

1.6.3 Y-△的等效变换



(a) Y连接

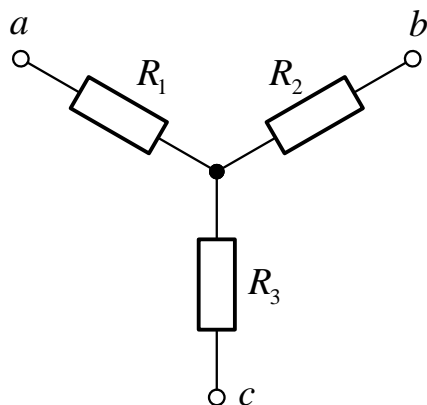


(a) △连接

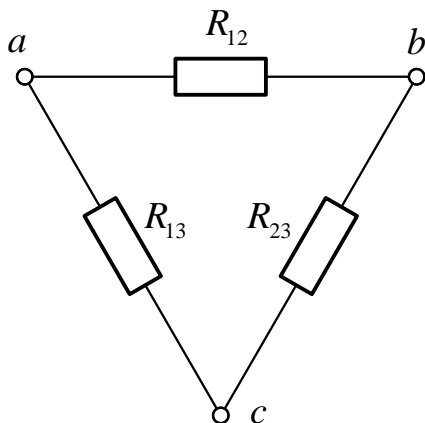
从a-b, b-c和c-a分别计算Y连接和△连接的等效电阻, 并令其相等, 可得

$$\begin{cases} R_{ab} = R_1 + R_2 = \frac{R_{12}(R_{23} + R_{13})}{R_{12} + R_{23} + R_{13}} \\ R_{bc} = R_2 + R_3 = \frac{R_{23}(R_{12} + R_{13})}{R_{12} + R_{23} + R_{13}} \\ R_{ca} = R_1 + R_3 = \frac{R_{13}(R_{12} + R_{23})}{R_{12} + R_{23} + R_{13}} \end{cases}$$

1.6.3 Y-△的等效变换



(a) Y连接



(a) △连接

$$\begin{cases} R_1 = \frac{R_{12}R_{13}}{R_{12} + R_{23} + R_{13}} \\ R_2 = \frac{R_{12}R_{23}}{R_{12} + R_{23} + R_{13}} \\ R_3 = \frac{R_{13}R_{23}}{R_{12} + R_{23} + R_{13}} \end{cases}$$

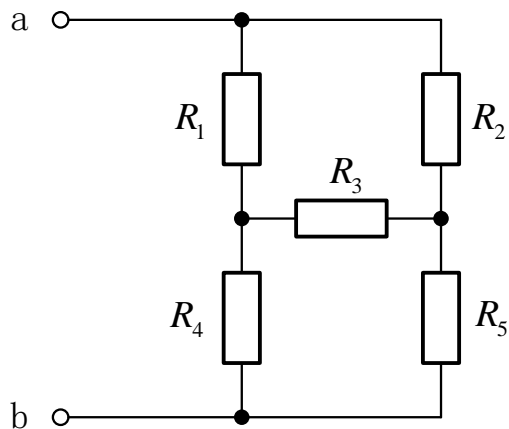
Y连接和△连接相互等效的条件为

$$\begin{cases} R_{12} = \frac{R_1R_2 + R_2R_3 + R_1R_3}{R_3} \\ R_{13} = \frac{R_1R_2 + R_2R_3 + R_1R_3}{R_2} \\ R_{23} = \frac{R_1R_2 + R_2R_3 + R_1R_3}{R_1} \end{cases}$$

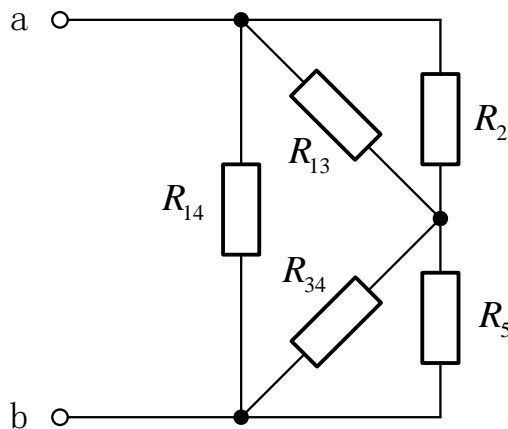
1.6.3 Y-△的等效变换

例1.6-2 求如图1.6-18 (a) 所示单口网络的等效电阻, 已知

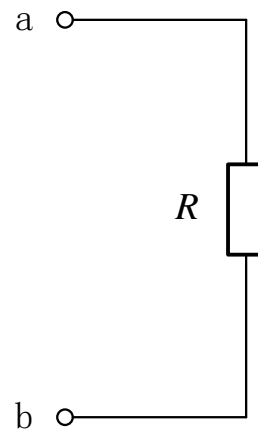
$$R_1 = R_3 = 5\Omega \quad R_2 = R_4 = R_5 = 10\Omega$$



(a)



(b)



(c)

$$\begin{cases} R_{13} = \frac{R_1 R_3 + R_3 R_4 + R_1 R_4}{R_4} = 12.5\Omega \\ R_{14} = \frac{R_1 R_3 + R_3 R_4 + R_1 R_4}{R_3} = 25\Omega \\ R_{34} = \frac{R_1 R_3 + R_3 R_4 + R_1 R_4}{R_1} = 25\Omega \end{cases}$$

$$\begin{aligned} R &= R_{14} // (R_{13} // R_2 + R_{34} // R_5) \\ &= 8.421\Omega \end{aligned}$$